



การสร้างมูลค่าเพิ่มและพัฒนาวัสดุดูดซับราคาถูกจากวัสดุเหลือทิ้งทางการเกษตร
สำหรับการกำจัดโครเมียมในน้ำทิ้งจากการชุบโลหะในอุตสาหกรรมครัวเรือน

Value added and development of low cost adsorbent from agricultural waste
for Cr(VI) removal from plating industry in household-scale

ผู้ช่วยศาสตราจารย์ประชาติ วัชรบันฑิต

งานวิจัยนี้ได้รับทุนจากสถาบันวิจัยและพัฒนา มหาวิทยาลัยราชภัฏเทพสตรี

ปี 2562

กิตติกรรมประกาศ

ผู้วิจัยขอขอบคุณสถาบันวิจัยและพัฒนา มหาวิทยาลัยราชภัฏเทพสตรี ที่สนับสนุนและให้ทุนวิจัย พ.ศ. 2562

ขอขอบคุณศูนย์วิทยาศาสตร์ที่ให้ความอนุเคราะห์เครื่องมือในการทำวิจัยครั้งนี้

ประชาธิ วัชรบัณฑิต

ผู้วิจัย

บทคัดย่อภาษาไทย

งานวิจัยนี้ทำการศึกษาการสร้างมูลค่าเพิ่มและพัฒนาวัสดุดูดซับราคากู้จากวัสดุเหลือทิ้งทางการเกษตรสำหรับการกำจัดโครเมียม (+6) ในน้ำทึ้งจากการขูบโลหะในอุตสาหกรรมครัวเรือน ปัจจัยที่ศึกษาได้แก่ ความเป็นกรด-ด่าง เวลาที่สัมผัส ความเข้มข้นของสารละลายและอุณหภูมิ วิเคราะห์คุณลักษณะของตัวดูดซับ ได้แก่ ใช้ SEM และ FTIR จากข้อมูลการทดลองใช้ไอโซเทอร์มและเมียร์และฟรุนเดลิชอธิบาย ผลการทดลองสามารถอธิบายได้ด้วยไอโซเทอร์มและเมียร์ทั้งแกlob และ chan o'oy ที่ปรับสภาพผิว และมีค่าความสามารถในการดูดซับสูงสุดเท่ากับ 53.763 และ 60.606 มิลลิกรัมต่อกรัมสำหรับแกlob และ chan o'oy ที่ปรับสภาพผิว จากผลการทดลองซึ่งให้เห็นว่าแกlob และ chan o'oy ที่ปรับสภาพผิวเป็นตัวดูดซับที่มีประสิทธิภาพในการกำจัดโครเมียม (+6) ได้ดี

คำสำคัญ: การกำจัด, โครเมียม (+6), แกlob, chan o'oy

Abstract

In this study, the development of low cost adsorbent from agricultural waste for Cr(VI) removal was evaluated. The effects of adsorption such as pH, contact time, initial concentration, temperature were investigated. The SEM and FTIR were used to study the characterization of adsorbents. The experimental data were analyzed by Langmuir and Freundlich isotherms. The adsorption data were fitted very well with Langmuir isotherm for both modified rice husk and sugarcane bagasse adsorbent. The maximum adsorption capacity of Langmuir isotherm was 53.763 and 60.606 mg/g for modified rice husk and sugarcane bagasse, respectively. The kinetics for the adsorption corresponded to the pseudo-second order model at all adsorbents. Experimental results showed that the modified rice husk and sugarcane bagasse were the effective adsorbent for removing of chromium (+6) in aqueous solution.

Key words : adsorption, Cr(+6), modified rice husk, modified sugarcane bagasse

สารบัญ

	หน้า
กิตติกรรมประกาศ	ก.
บทคัดย่อภาษาไทย	ก.
บทคัดย่อภาษาอังกฤษ	ก.
สารบัญ	ก.
สารบัญตาราง	ก.
สารบัญรูป	ก.
บทที่ 1	ก.
1.1 ความสำคัญและที่มา	1
1.2 วัตถุประสงค์ของการวิจัย	1
1.3 ขอบเขตของการวิจัย	2
1.4 กรอบแนวคิดของโครงการวิจัย	2
1.5 นิยามศัพท์	3
บทที่ 2 เอกสารและงานวิจัยที่เกี่ยวข้อง	3
2.1 วัสดุที่ใช้ดูดซับ	4
2.2 โครเมียม	4
2.3 แหล่งที่มาและลักษณะน้ำเสีย	4
2.4 ผลกระทบของน้ำเสียจากโรงงานชุบโลหะ	4
2.5 มาตรฐานน้ำทึ้งจากโรงงานชุบโลหะ	5
2.6 ความเป็นพิษของโครเมียม	5
2.7 วัสดุเหลือทิ้งทางการเกษตร	6
2.8 แกลบ	6
2.9 ชานอ้อย	6
2.10 การดูดซับ	7
2.11 จนผลศาสตร์การดูดซับ	8
2.12 อุณหพลศาสตร์การดูดซับ	9
2.13 การกำจัดโครเมียมด้วยกระบวนการดูดซับ	10
บทที่ 3 วิธีดำเนินการวิจัย	10
3.1 การเตรียมสารละลายโครเมียม	14
3.2 เครื่องมือที่ใช้ในการทดลอง	14
3.2.1 เครื่องมือที่ใช้ในการทดลอง	14
3.2.2 อุปกรณ์ที่ใช้ในการทดลอง	14

3.2.3 สารเคมีที่ใช้ในการทดลอง	15
3.3 วิธีดำเนินการวิจัย	15
3.3.1. ประชากรและกลุ่มตัวอย่าง	15
3.3.2. ศึกษาองค์ประกอบทางกายภาพและเคมีของเกลบและชานอ้อย	15
3.4 ศึกษาประสิทธิภาพและปัจจัยที่มีผลต่อการดูดซับโครเมียม (+6)	15
บทที่ 4 ผลการวิจัยและอภิปรายผลการทดลอง	18
4.1 การเตรียมตัวดูดซับเกลบและชานอ้อย	18
4.2 ศึกษาคุณลักษณะทางกายภาพและเคมีของตัวดูดซับ	18
4.3 ผลของความเป็นกรด-ด่างของสารละลาย	19
4.4 ผลของเวลาที่เข้าสู่สมดุล	21
4.5 ผลของความเข้มข้นสารละลาย	22
4.6 ผลของอุณหภูมิ	23
4.7 ไอโซเทอร์มการดูดซับ	23
4.8 การจำจัดโครเมียม (+6) ในน้ำเสียจากชุมชน	24
	28
บทที่ 5 สรุปผลการวิจัย	29
เอกสารอ้างอิง	30
ภาคผนวก	32
ภาคผนวก ก.	33

สารบัญตาราง

ตารางที่	หน้า
2.1 องค์ประกอบพื้นฐานของแกลบ	7
2.2 องค์ประกอบทางกายภาพและเคมีของแกลบ	7
2.3 องค์ประกอบพื้นฐานของชานอ้อย	8
2.4 องค์ประกอบทางกายภาพและเคมีของชานอ้อย	8
4.1 หมูฟังก์ชันของแกลบและชานอ้อย	8
4.2 ผลการคำนวณจากไอโซเทอร์มการกำจัดโคโรเมียม (+6) ด้วยแกลบ	21
4.3 ผลการคำนวณจากไอโซเทอร์มการกำจัดโคโรเมียม (+6) ด้วยชานอ้อย	24
4.4 พารามิเตอร์ของไอโซเทอร์มการกำจัดโคโรเมียม (+6) ด้วยแกลบและชานอ้อย	25
ก.1 ผลของความเป็นกรด-ด่างในการกำจัดโคโรเมียม (+6) ด้วยแกลบและชานอ้อย	26
ก.2 ผลของเวลาที่เข้าสู่สมดุลในการกำจัดโคโรเมียม (+6) ด้วยแกลบและชานอ้อย	33
ก.3 ผลของความเข้มข้นสารละลายในการกำจัดโคโรเมียม (+6) ด้วยแกลบและชานอ้อย	33
ก.4 ผลของอุณหภูมิในการกำจัดโคโรเมียม (+6) ด้วยแกลบและชานอ้อย	34
	34

สารบัญรูป

รูปที่	หน้า
4.1 พื้นผิวของแกลบและ chan อ้อย	19
4.2 หมู่ฟังก์ชันของแกลบและ chan อ้อย	20
4.3 ผลของค่าความเป็นกรด-ด่างของสารละลาย	22
4.4 ผลของเวลาในการดูดซับ	22
4.5 ผลของความเข้มข้นสารละลาย	23
4.6 ผลของอุณหภูมิ	23
4.7 ไอโซเทอร์มการดูดซับและเมียร์ของแกลบ	24
4.8 ไอโซเทอร์มการดูดซับฟรุนเดลิซของแกลบ	25
4.9 ไอโซเทอร์มการดูดซับและเมียร์ของ chan อ้อย	25
4.10 ไอโซเทอร์มการดูดซับฟรุนเดลิซของ chan อ้อย	26
4.11 ปัจจัยการแยกในการกำจัดโครเมียม (+6) ด้วยแกลบ	27
4.12 ปัจจัยการแยกในการกำจัดโครเมียม (+6) ด้วย chan อ้อย	27

บทที่ 1

บทนำ

1.1 ความสำคัญและที่มา

ปัจจุบันภาคอุตสาหกรรมและเกษตรกรรมของประเทศไทยมีการพัฒนาและนำเทคโนโลยีใหม่ ๆ มาใช้ในกระบวนการผลิต มีการนำเข้าสารเคมีชนิดต่าง ๆ มาใช้เป็นจำนวนมากของเสียที่เกิดขึ้น ระหว่างกระบวนการผลิตเหล่านี้จัดเป็นของเสียอันตราย หากไม่มีการกำจัดที่ถูกวิธีจะก่อให้ผลกระทบต่อ สุขภาพอนามัยของประชาชน ทรัพย์สิน และสิ่งแวดล้อม กระบวนการชุมปลอยังมีภาระใช้สารเคมีเพื่อทำความสะอาด กัด슬ักและชูบพื้นผิวโลหะและอลูมิเนียมเพื่อเพิ่มคุณสมบัติของพื้นผิว ซึ่งสารเคมีเหล่านี้ล้วนก่อให้เกิดน้ำเสียที่ปนเปื้อนโลหะจากกระบวนการชุมปลอยัง ซึ่งมีผลกระทบต่อ สิ่งแวดล้อมและมีอันตรายต่อสิ่งมีชีวิต (วรรณรัตน์ ศรีภักดีและโภวิทย์ ปิยะมังคลา, 2552) น้ำเสียที่เกิดขึ้นจะมีโลหะหนักที่มีความเป็นพิษสูงมากเมื่อเทียบกับโลหะหนักชนิดอื่น ๆ โครเมียมที่มีอยู่ในธรรมชาติมี 2 รูปแบบ คือ โครเมียม (+6) และ โครเมียม (+3) โครเมียม(+6) จะมีอันตรายมากกว่า โครเมียม (+3) เพราะ โครเมียม (+6) เป็นสารก่อมะเร็ง และทำให้เกิดการกลายพันธุ์ ในสิ่งมีชีวิต นอกจากนี้ยังมีฤทธิ์ทำลายตับและทำให้ผิวหนังเกิดการระคายเคือง โดยในการชุมปลอยัง มีส่วนผสมของโครเมียม (+6) นอกจากนี้ถ้ามีปริมาณโครเมียมในน้ำมากสามารถทำให้ปลาในน้ำตายได้ เนื่องจากโครเมียมมีความเป็นพิษสูงดังนั้นจึงต้องทำการรับน้ำที่มีปริมาณลดลงมาบำบัด โครเมียม

กระบวนการบำบัดโครเมียมมีหลายวิธี เช่นวิธีการตกรตะกอนโดยใช้ปูนขาวหรือโซเดียมไฮดรอกไซด์ อย่างไรก็ตามกระบวนการนี้ไม่สามารถลดความเข้มข้นของโครเมียมให้ต่ำกว่ามาตรฐานของกฎหมายสิ่งแวดล้อมได้ กระบวนการตกรตะกอนยังมีปัญหาตามมา ได้แก่ เกิดตะกอนโลหะหนักหลังการบำบัด ใช้เวลาในการบำบัดนานและมีค่าใช้จ่ายสูงในการฝังกลบ กระบวนการดูดซับเป็นเทคนิคที่ดีกว่าเทคนิคอื่นในการกำจัดโลหะหนัก เนื่องจากมีค่าใช้จ่ายไม่มากมีขั้นตอนที่ไม่ยุ่งยากและไม่ทำให้เกิดสารพิษตามมา (Xiong et al., 2010) ตัวดูดซับที่นิยมใช้และมีประสิทธิภาพในการกำจัดโลหะหนักคือถ่านกัมมันต์ เนื่องจากเป็นตัวดูดซับที่มีรูพรุนและมีพื้นที่พิ渥มาก แต่มีข้อเสียคือมีราคาแพงและการฟื้นฟูสภาพค่อนข้างยาก (regenerate) ทำให้ปัจจุบันนิยมใช้ตัวดูดซับที่เป็นวัสดุเหลือทิ้งทางการเกษตรมาใช้เป็นตัวดูดซับสารปนเปื้อนต่าง ๆ กันอย่างแพร่หลาย โดยในงานวิจัยที่ผ่านมา มีการนำวัสดุเหลือทิ้งทางการเกษตรที่ใช้เป็นตัวกำจัดสารปนเปื้อนในน้ำเสียต่าง ๆ เช่น ซังข้าวโพด ชานอ้อย แกลบ (Crini, 2005) และชุยมะพร้าว (Prasad et al., 2008) เป็นต้น

ประเทศไทยเป็นประเทศเกษตรกรรมและเป็นแหล่งผลิตและส่งออกสินค้าเกษตรที่สำคัญแห่งหนึ่งของโลก แต่วัสดุเหลือทิ้งทางการเกษตรยังไม่ได้ถูกนำมาใช้ประโยชน์มากนัก อีกทั้งยังมีการจัดการของเสียชีวมวลโดยการเผาในที่โล่ง (open burning) ซึ่งเป็นสาเหตุหนึ่งของการปล่อยก๊าซเรือนกระจกและมลสารสู่ชั้นบรรยากาศ โดยในปี พ.ศ. 2552 ประเทศไทยมีปริมาณวัสดุเหลือใช้ทางการเกษตรมากถึง 5.95 ล้านตัน โดยแกลบ (ร้อยละ 51) และชานอ้อย (ร้อยละ 31) เป็นวัสดุชีวมวลที่มีสัดส่วนเหลือทิ้งมากที่สุด (สุทธิรัตน์ กิตติพงษ์วิเศษ และคณะ, 2560 อ้างถึงในกรมพัฒนา

พลังงานทดแทนและอนุรักษ์พลังงาน, 2558) ดังเข่นพื้นที่ตำบลยางราก อำเภอโคกเจริญ จังหวัดลพบุรี มีการเพาะปลูกข้าวและอ้อยเป็นอันดับต้น ๆ ของประเทศไทย ทำให้มีวัสดุเหลือทิ้งจากการเกษตร ได้แก่ แกลบและชานอ้อย เป็นจำนวนมาก ซึ่งวัสดุเหลือทิ้งทางการเกษตรมีสารประกอบพอกสารลิกโนเซลลูโลส (lignocellulose) ที่มีโครงสร้างประกอบด้วยเซลลูโลส เอ็นิเซลลูโลส และลิกนิน เมื่อพิจารณาโครงสร้างพบว่ามีหมู่ฟังก์ชันไฮดรอกซิล (OH) และคาร์บอนิล (COO) ทำให้มีความเป็นไปได้ที่จะสามารถกำจัดโลหะหนักได้

ดังนั้นจึงได้มีการศึกษาและพัฒนาแนวทางเลือกในการเพิ่มน้ำหนักค่าวัสดุข้าวมวลเหลือทิ้งทางการเกษตรสำหรับการผลิตวัสดุดูดซับที่มีคุณสมบัติในการดูดซับมลสารในสิ่งแวดล้อม ซึ่งจะเป็นวิธีการจัดการของเสียที่เกิดขึ้นอย่างมากในประเทศไทย ซึ่งจะเป็นการลดปริมาณของเสียที่ต้องการกำจัด ลดภาระทางสิ่งแวดล้อม และลดผลกระทบต่อสิ่งแวดล้อม รวมทั้งสามารถนำมูลค่าเพิ่มจากการกำจัดโครงสร้างเหลือทิ้งทางการเกษตรมาสร้างมูลค่าเพิ่มและใช้ประโยชน์ได้ ที่สำคัญเพื่อให้ได้ข้อมูลในการออกแบบถังบำบัดน้ำเสียสำหรับระบบปฏิบัติการจริงในการกำจัดโครงสร้าง (+) ในน้ำที่จากการดูดซับในอุตสาหกรรมครัวเรือนของชุมชนและพัฒนาต่อยอดไปใช้ในโรงงานอุตสาหกรรมต่อไป รวมทั้งยังสามารถนำข้อมูลที่ได้ไปใช้ในการกำจัดโลหะหนักตัวอื่นที่ปนเปื้อนในสิ่งแวดล้อมได้

1.2 วัตถุประสงค์ของการวิจัย

- เพื่อพัฒนาตัวดูดซับวัสดุเหลือทิ้งทางการเกษตร ได้แก่ แกลบและชานอ้อย โดยการปรับสภาพด้วยกรดไฮโดรคลอริก
- ศึกษาคุณสมบัติกายภาพและเคมีของตัวดูดซับ
- ศึกษาประสิทธิภาพ และปัจจัยที่มีผลต่อการกำจัดโครงสร้างในน้ำที่ต้องการรับประทานในอุตสาหกรรมครัวเรือนของแกลบและชานอ้อย
- ศึกษาถังบำบัดน้ำเสียจากการกำจัดโครงสร้างโดยแกลบและชานอ้อยที่ปรับสภาพด้วยกรดไฮโดรคลอริก
- เพื่อนำผลการทดลองนี้ไปเป็นข้อมูลพื้นฐานในการจัดการน้ำเสียจากการดูดซับในระบบที่ใหญ่ขึ้น

1.3 ขอบเขตของการวิจัย

- ตัวดูดซับที่ใช้ได้แก่ แกลบและชานอ้อย ซึ่งเป็นวัสดุเหลือทิ้งทางการเกษตรจากโรงสีข้าว และเกษตรกรตำบลยางราก อำเภอโคกเจริญ จังหวัดลพบุรี
- ทำการเตรียมตัวดูดซับโดยนำแกลบและชานอ้อยมาปรับสภาพพื้นผิวด้วยกรดไฮโดรคลอริก

3. น้ำดื่มย่างที่ใช้ในการทดลองเป็นน้ำสังเคราะห์และน้ำจากการซุบโลหะจริงจากอุตสาหกรรมครัวเรือน อำเภอเมือง จังหวัดพบรี

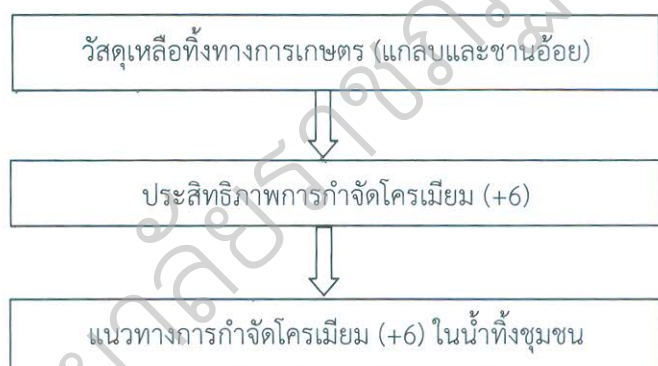
4. ศึกษาปัจจัยที่มีผลต่อการกำจัดโรคเมียมจากการชุมชนในอุตสาหกรรมครัวเรือน ได้แก่ ความเป็นกรด-ด่าง เวลาที่สัมผัส ความเข้มข้นของสารละลายและอุณหภูมิ นำข้อมูลที่ได้มาศึกษา ไอโซเทอร์ม จนนพศาสตร์และอุณหพลศาสตร์การกำจัดโรคเมียมเพื่อหาประสิทธิภาพและออกแบบ ถังบำบัด

5. ศึกษาองค์ประกอบทางภาษาพลาสติกและเครื่องของตัวดูดซับ ได้แก่ แกลบและ chan อ้อยที่ปรับสภาพปรับสภาพ ได้แก่

1. วิเคราะห์ลักษณะทางสัณฐานวิทยาและเทคนิคการวัดการกระจายพลังงานด้วย Scanning Electron Microscope equipped with Energy Dispersive Spectrometer (SEM-EDS) เพื่อศึกษาถึงพื้นผิวและการกระจายตัวของร่องรอย

2. วิเคราะห์หมู่ฟังก์ชันด้วย Fourier transform infrared spectroscopy (FT-IR) เพื่อศึกษาถึงหมู่ฟังก์ชัน

1.4 กรอบแนวคิดของโครงการวิจัย



1.5 นิยามศัพท์

การดูดซึบ คือ การถ่ายโอนองค์ประกอบจากของเหลว (liquid phase) ไปยุ่บผนิวของของแข็ง (solid phase) โดยกลุ่มที่จับอยู่กับผิวของแข็งเรียกว่า ตัวกรุดูดซึบ (adsorbate) และที่ของแข็งที่จับตัวกรุดูดซึบ เรียกว่า ตัวดูดซึบ (adsorbent)

“ไอโซเทอร์ม คือ ความสัมพันธ์ระหว่างปริมาณของตัวถูกคัดซับที่ถูกคัดซับ (qe) ต่อ 1 หน่วยมวลของตัวคัดซับที่ความเข้มข้นสมดุล (Ce) และที่อุณหภูมิคงที่

จนผลศาสตร์ คือ การศึกษาการดูดซึบจากการเปลี่ยนแปลงความเข้มข้นของสารตั้งต้นต่อหนึ่งหน่วยเวลาหรือเรียกว่า อัตราเร็วของการดูดซึบ (rate of reaction) ณ เวลาต่าง ๆ ก่อนการดูดซึบเข้าสู่ภาวะสมดุล

บทที่ 2 เอกสารที่เกี่ยวข้อง

2.1 วัสดุที่ใช้ดูดซับ

สารที่มีความสามารถในการดูดซับมีหลายชนิด อาจแบ่งได้เป็น 5 ประเภท (นิพนธ์และคณิตา, 2550) ได้แก่

1. สารอนินทรีย์ เช่น ดินเหนียวชนิดต่าง ๆ แมกนีเซียมออกไซด์ และซิลิกาgemant ถ้าเรื่องจำพวกอะลูมิเนียมซิลิกะ วัสดุดูดซับสารอนินทรีย์จะมีพื้นที่ผิวจำเพาะประมาณ 50 -200 ตารางเมตรต่อกรัม และดูดซับโมเลกุลสารเพียงไม่เกินหนึ่ง
2. ถ่านกัมมันต์ มีพื้นที่ผิวจำเพาะประมาณ 500-1,400 ตารางเมตรต่อกรัม เป็นวัสดุดูดซับที่มีประสิทธิภาพและมีการนำไปใช้งานอย่างกว้างขวาง
3. สารอินทรีย์สังเคราะห์ ได้แก่ สารแลกเปลี่ยนไอออน (เรชิน) ชนิดพิเศษที่สังเคราะห์ขึ้นเพื่อกำจัดสารอนินทรีย์ต่าง ๆ พื้นที่ผิวจำเพาะประมาณ 300-500 ตารางเมตรต่อกรัม
4. วัสดุชีวภาพ (biomaterials) ส่วนใหญ่เป็นวัสดุเหลือใช้ทางด้านการเกษตร เช่น ขี้เลือยไก่โต恰น กากกาแฟ ชาอ้อย กากระหลัง เถ้าแกลงบด เปลือกไม้และฟางข้าว เป็นต้น
5. วัสดุดูดซับชีวภาพ (biosorbent) ได้แก่ เชลล์จลินทรีย์ เช่น ยีสต์ หรือราสายพันธุ์ต่าง ๆ แบคทีเรีย และสาหร่าย

2.2 โครเมียม

โครเมียมในรูปของເຊກະຫວາເລີ່ມ (+6) จะถูกนำมาใช้ในกิจกรรมต่าง ๆ มากกว่าโครเมียมในรูปของไตราเลນ (+3) โครเมียม (+6) จะมีความเป็นพิษมากกว่าโครเมียม (+3) ส่วนโครเมียมในรูปโลหะ (metallic chromium) จัดเป็นรูปที่ไม่เป็นอันตรายเช่นเดียวกับออกไซด์และฟอสเฟสของโครเมียม

โครเมียม (+6) ใช้ในการผลิตเม็ดสี เนื่องจากเกลือของโครเมตมีสีต่าง ๆ หลาสี จึงนิยมใช้ในการผลิตเป็นเม็ดสีเรียกว่า โครมพิกเมนต์(chrome pigment) เช่น โครมเยลโล (chrome yellow ;PbCrO4) โครมเรด (chrome red ; PbO.PbO_2CrO4) เป็นต้น นอกจากนี้ยังใช้ในการทำผลิตภัณฑ์รักษาเนื้อไม้ เสื่อน้ำมันยาง อุตสาหกรรมเครื่องปั้นดินเผา อุตสาหกรรมฟอกหัว การย้อมสีขนสัตว์ ไหม และหนังสัตว์ อุตสาหกรรมผลิตแก้ว ทำให้แก้วมีสีและเป็นเงามาได้อีกด้วย (จุฬาลักษณ์ ชาญกุล, 2546)

2.3 แหล่งที่มาและลักษณะน้ำเสีย

น้ำเสียจากโรงงานขับโลหะถูกปล่อยออกมายังทะเล ๆ ขั้นตอน ได้แก่

1. น้ำล้างจากขั้นตอนกำจัดด้วยมันและน้ำมัน
2. น้ำล้างจากขั้นตอนการจุ่มเจาและกำจัดสนิม
3. น้ำล้างชั้นงานภายหลังการขับน้ำยา

4. น้ำยาที่เสื่อมคุณภาพหรือเหลืออกมาโดยอุบัติเหตุ

5. น้ำยาล้างทำความสะอาดเครื่องมือและบริเวณสถานที่ โดยน้ำเสีย 3 ประเภทแรกที่กล่าวถึงจะเป็นน้ำเสียที่มีปริมาณสูง และจะเกิดอย่างต่อในเนื่องในกระบวนการผลิต ส่วนน้ำเสียจากอุบัติเหตุหรือน้ำยาที่เสื่อมคุณภาพจะมีมลพิษสูงต่อ้าน ๆ จึงจะเกิดขึ้น ส่วนน้ำล้างทำความสะอาดเครื่องมือและบริเวณสถานที่จะมีความเข้มข้นของสารมลพิษต่ำและปริมาณไม่เกินมาก

2.4 ผลกระทบของน้ำเสียจากโรงงานชุบโลหะ

น้ำเสียจากโรงงานชุบโลหะจะมีสารมลพิษสูงเจือปนอยู่ คือโลหะหนักและไซยาไนต์ ซึ่งการปล่อย molars เหล่านี้ลงสู่แหล่งน้ำธรรมชาติจะก่อให้เกิดปัญหาต่อสิ่งแวดล้อมและมีผลกระทบต่อสิ่งชีวิตในระบบบำบัดน้ำเสียชุมชนตลอดไปถึงมีอันตรายต่อสุขภาพของมนุษย์โดยตรง ได้แก่

1. ทองแดง เป็นโลหะที่ร่างกายต้องการเพียงเล็กน้อย ผู้ใหญ่ต้องการประมาณ 2 mg./วัน แต่ถ้าร่างกายได้รับมากเกินไปจะก่อให้เกิดโทษ เช่น รับประทานคือเปอร์ซัลเฟตในปริมาณ 27 กรัม จะทำให้เสียชีวิตได้

2. nickel สารประกอบนิกเกิลไม่มีผลทางสรีระของสัตว์และพืชหรือเป็นพิษในเกณฑ์ที่ต่ำมาก

3. ตะกั่ว เป็นโลหะที่ร่างกายไม่ต้องการ แต่ร่างกายคนเราสามารถทนต่อตะกั่วได้ คนที่รับสารตะกั่วในเลือด 0.25 mg./l. โดยไม่เป็นอันตราย แต่ถ้าได้รับในปริมาณมากทันทีทันใด เช่น พpb ในเลือด 0.8 mg./l. จะเกิดพิษเฉียบพลันได้

4. สังกะสี ถ้าอยู่ในรูปของธาตุจะไม่ปราภกความเป็นพิษ แต่สารประกอบหลายตัวเป็นพิษต่ออุ่นในเกณฑ์ที่ต่ำ

5. โคโรเมียมสาม ประกอบโคโรเมียม (+3) ไม่ปราภกความเป็นพิษต่อร่างกาย แต่สารประกอบโคโรเมียม (+6) ทำให้เกิดอาการคันที่ผิวหนัง ผิวหนังอักเสบกลairy เป็นแพลติดเชื้อขึ้นได้ การสูดกรดโคโรเมียมเป็นประจำทำให้ผนังกันในจมูกถูกเจาะทะลุเกิดมะเร็งที่ปอดได้

6. ไซยาไนต์ ก้าชไอโอดเรเจนไซยาไนต์เป็นพิษอย่างแรง ระยะเดือนต่อระบบทางเดินหายใจ และอาจทำให้เสียชีวิตได้

2.5 มาตรฐานน้ำทิ้งจากโรงงานชุบโลหะ

โลหะหนักต่าง ๆ ที่ปนเปื้อนมากับน้ำเสียอุตสาหกรรมได้ก่อให้เกิดโทษกับชีวิต มนุษย์และยังเป็นปัญหาต่อสิ่งแวดล้อม ดังนั้นกรมโรงงานอุตสาหกรรมจึงได้ประกาศกำหนด คุณลักษณะของน้ำทิ้งที่ปล่อยจากโรงงานอุตสาหกรรม ในส่วนที่เกี่ยวกับการชุบโลหะด้วยไฟฟ้านั้นพบว่า โคโรเมียม (+6) และ (+3) ต้องมีปริมาณโคโรเมียมไม่เกิน 0.25 และ 0.75 มิลลิกรัมต่อกิโลกรัม ตามลำดับ (ประกาศกระทรวงวิทยาศาสตร์เทคโนโลยีและสิ่งแวดล้อม ฉบับที่ 3 เรื่องกำหนดค่ามาตรฐานควบคุมการระบายน้ำทิ้งจากแหล่งกำเนิดประเภทโรงงานอุตสาหกรรมและนิคมอุตสาหกรรม, 2539)

2.6 ความเป็นพิษของโครเมียม (จุฬาลักษณ์ ชาญกุล, 2546)

ปริมาณความเป็นพิษของโครเมียมนั้น ขึ้นอยู่ปริมาณและสถานะของโครเมียมที่ได้รับเข้าไปในร่างกาย โดยที่ไวโครเมียมจะอยู่ในรูปของโครเมียม (+6) และโครเมียม (+3) โดย โครเมียม (+6) จะมีความเป็นพิษมากกว่าโครเมียม (+3) กล่าวคือโครเมียม (+6) ที่ร่างกายได้รับเข้าไปแม้เพียงจำนวนน้อยนิดก็สามารถทำให้โปรตีนในร่างกายแตกตหัน เกิดการระคายเคืองที่ใต้ เป็นเหตุทำให้ต้ออักเสบถึงแก่ความตายได้ โครเมียม (+6) ที่ซึมเข้าสู่ร่างกายผ่านทางผิวหนังถูกเรียกว่าเป็นโครเมียม (+3) ในชั้นคอเรียม(corium) ของผิวหนัง ซึ่งโครเมียม (+3) นี้ จะไปทำปฏิกิริยา กับโปรตีนในร่างกาย เกิดเป็นสารแอนติเจน-แอนติบอดีเชิงซ้อน (antigen antibody complex) ทำให้เกิดอาการคันที่ผิวหนัง (dermatitis)

พิษของโครเมียมขึ้นอยู่กับ อุณหภูมิ พื้นที่ วัยว่าที่ได้รับและรูปแบบโครเมียม ปริมาณของโครเมียมที่มีผลทำให้ปลาตายได้อยู่ในช่วง 17-18 มก./ล. (Mearns, Oshida, Sherwood, Young and Reish, 1996) โครเมียมเป็นตัวทำให้เกิดโรคมะเร็งในปอด การหายใจเข้าโครเมียมเข้าสู่ร่างกาย จะทำให้โครเมียมเข้าไปสะสมอยู่ในถุงหลอดลม นอกจากนี้โครเมียมยังทำอันตรายต่อผิวหนังอีกด้วย

ความเป็นพิษของโครเมียมมีผลกระแทบในหลายรูปแบบทั้งแบบเฉียบพลัน (acute effect) แบบเรื้อรัง (chronic effect) และการกลายพันธุ์ (mutagenicity) โดยที่ไวโครเมียมจะพิษที่เกิดจากโครเมียมสามารถ สรุปได้ดังนี้

2.7 วัสดุเหลือทิ้งทางการเกษตร (agricultural waste)

วัสดุเหลือทิ้งจากการเกษตร เช่น แกลบ chan o'oy ใบอ้อย ยอดอ้อย กาเกียว เปเลือกผลไม้ เมล็ดซังและเปลือกข้าวโพด ข้าวบาร์เลีย (Nigam et al., 2002) และเปลือกต้นยูคอลิปตัส (Morais et al., 1999) เป็นต้น วัสดุเหล่านี้มีสารอินทรีย์ (ลิกนิน เซลลูโลสและเอมิเซลลูโลส) ของหมูโพลีฟินอิกเป็นองค์ประกอบซึ่ง Jacobsen and Wyman (2000) กล่าวว่าเซลลูโลสเป็นองค์ประกอบที่สำคัญของผนังเซลล์พิช โดยเซลลูโลสมีหมู่ไฮดรอกซิล (-OH) ซึ่งสามารถแลกเปลี่ยนไอออนบางกับไฮโดรเจนได้ เอมิเซลลูโลสเป็นส่วนของพิชที่ประกอบด้วยโพลีแซคคาไรด์หลายชนิด ซึ่งพิชแต่ละชนิด จะมีองค์ประกอบที่แตกต่างกัน และลิกนิน (lignin) เป็นสารประกอบเชิงซ้อนที่มีโครงสร้าง 3 มิติ เป็น aromatic polymer ไม่ชอบน้ำ (หมู่ฟังก์ชัน คือหมู่ methoxyl group-OCH₃ หมู่ hydroxyl group-OH และส่วนที่เป็น phenolic) ซึ่งหมู่ไฮดรอกซิลสามารถทำปฏิกิริยา กับหมู่ฟังก์ชันอื่นหรือ กับหมู่อัลดีไฮด์หรือหมู่คิโนนเกิด linkage ใหม่ขึ้นและสร้างพันธะต่อเนื่องกันไปเรื่อยๆ ด้วยว่า วัสดุเหลือทิ้งจากการเกษตรที่มีมากในจังหวัดพบบุรี เช่น แกลบและ chan o'oy แสดงองค์ประกอบและโครงสร้างมีรายละเอียดดังนี้

2.8 แกลบ (Rice husk)

แกลบ เป็นวัสดุเหลือทิ้งทางการเกษตรที่มีมากในประเทศไทย คือ ประมาณ 23 % ของข้าวที่ผลิต (Prasara-A, 2006) ดังนั้นในแต่ละปีจะมีปริมาณแกลบเหลือทิ้งเป็นจำนวนมาก แกลบ มีองค์ประกอบหลัก ได้แก่ เซลลูโลส เอมิเซลลูโลส และลิกนิน (เหมือนกับ chan o'oy) และใน เอมิเซลลูโลสประกอบด้วย D-xylose, D-galactose, L-arabinose และ D-glucuronic acid ซึ่งพิช

แต่ละชนิดจะมีองค์ประกอบและปริมาณที่แตกต่างกัน (Genieva et al., 2008) ตารางที่ 2.1 องค์ประกอบพื้นฐานและตารางที่ 2.2 องค์ประกอบทางกายภาพและเคมีของเกลบ ตามลำดับ

ตารางที่ 2.1 องค์ประกอบพื้นฐานของเกลบ

องค์ประกอบ (%) โดยมวล)				อ้างอิง
เซลลูโลส	เยมิเซลลูโลส	ลิกนิน	ถ้า	
31.12	22.48	22.34	13.87	Senthil Kumar et al (2010)
28.6	28.6	24.4	18.4	Di Blasi (1999)
34.4	29.3	19.2	-	Mahvi et al (2004)

ตารางที่ 2.2 องค์ประกอบทางกายภาพและเคมีของเกลบ

องค์ประกอบ	ร้อยละ
Proximate Analysis : Fixed carbon	9.3
Volatile matter	72.8
Ash content	17.9
Higher heating value, MJ kg ⁻¹	-
Ultimate Analysis : Carbon	48.9
Hydrogen	6.2
Oxygen (by difference)	44.1
Nitrogen	0.8

ที่มา (Wannapeera et al., 2008)

ประโยชน์ของเกลบ

ใช้เป็นเชื้อเพลิง วัสดุก่อสร้าง อาหารเลี้ยงสัตว์ เครื่องนอน ปุ๋ย ผลิตชิลกอนคาร์บอนเบอร์และขี้ถ้าเกลบ (เช่น ใช้ในงานคอนกรีต ตัวเร่งปฏิกิริยา) เป็นต้น (Rice hulls or Rice husk, 2010).

2.9 ชานอ้อย (Sugarcane bagasse)

อ้อยเป็นพืชเศรษฐกิจที่สำคัญของไทย มีอัตราการปลูกแต่ละปีประมาณ 48 ล้านตันและมีชา諾อ้อยซึ่งเป็นวัสดุเส้นใยที่เหลือภายหลังบีบหัวอ้อยจากอ้อยแล้วประมาณ 25% ของน้ำหนักอ้อยหรือประมาณ 12 ล้านตันของผลผลิต (Pattra et al., 2008)

องค์ประกอบของชานอ้อย

ชานอ้อย ประกอบด้วยเซลลูโลส เยมิเซลลูโลส ลิกนินและถ้า เป็นองค์ประกอบ ดังตารางที่ 2.3 และ 2.4 แสดงองค์ประกอบพื้นฐานและองค์ประกอบทางกายภาพและเคมีของชานอ้อย

ตารางที่ 2.3 องค์ประกอบพื้นฐานของชานอ้อย

องค์ประกอบ (%) โดยมวล				อ้างอิง
เซลลูโลส	เยมิเซลลูโลส	ลิกนิน	ถ้า	
37	28	21	-	Bon, 2007
26-47	19-33	14-23	1-5	Patranu, 1989
38	33	22	3	Trickett and Neyzell-de Wilde, 1982

ตารางที่ 2.4 องค์ประกอบทางกายภาพและเคมีของชานอ้อย

องค์ประกอบ	ร้อยละ
Proximate Analysis : Fixed carbon	20.1
Volatile matter	75.8
Ash content	4.2
Higher heating value, MJ kg ⁻¹	18.11
Ultimate Analysis : Carbon	44.1
Hydrogen	5.26
Oxygen	44.4
Nitrogen	0.19

ที่มา (Jorapur and Rajvanshi, 1997)

ประโยชน์ของชานอ้อย

ปัจุบันได้มีการใช้ประโยชน์จากชานอ้อยในการผลิตเป็นเชื้อเพลิง ผลิตกระดาษ ผลิตเป็นอาหาร เพอร์ฟูรัล กล่องโฟม และสารเมทิลคาร์บอซิลเซลลูโลส (CMC) เป็นต้น

2.10 การดูดซับ (adsorption)

การดูดซับเป็นการแยกสารองค์ประกอบที่ต้องการออกจากสารละลายของเหลวหรือก๊าซ โดยให้สารละลายหรือก๊าซผสมสัมผัสกับตัวดูดซับ องค์ประกอบแต่ละชนิดในสารละลาย มีความสามารถในการกระจายบนผิวและเกิดแรงดึงดูดกับตัวดูดซับได้ต่างกัน

กระบวนการดูดซับจะเกิดขึ้นเรื่อยๆ โดยที่สารที่ถูกดูดซับจะถูกดูดซับและคายการดูดซับ (desorption) ไปพร้อม ๆ กัน จนกว่าอัตราการดูดซับและการคายการดูดซับจะเท่ากัน ซึ่งจะทำให้เกิดสมดุล เรียกว่า สมดุลของการดูดซับ (adsorption equilibrium) ส่วนไอโซเทอมของการดูดซับ (adsorption isotherm) เป็นความสัมพันธ์ระหว่างปริมาณของสารที่ถูกดูดซับต่อน้ำหนักของตัวดูดซับ กับความเข้มข้นของสารที่ถูกดูดซับที่เหลืออยู่ ที่สมดุลการดูดซับ ณ อุณหภูมิหนึ่งๆ เมื่อนำเอามาใช้ในกระบวนการดูดซับ จะได้เส้นโค้งแนวโน้มที่เกิดขึ้นจากการลากผ่านจุดที่ได้จากการทดลอง ทั้งหมด เรียกว่า ไอโซเทอมของการดูดซับรูปแบบของไอโซเทอมของการดูดซับมีหลายสมการด้วยกัน

ซึ่งแล้วแต่ว่าจะนำเอาสมการแบบใดมาอธิบายเกี่ยวกับสมดุลของการดูดซับ แต่ที่นิยมนำมาใช้ในการอธิบายการดูดซับ คือ สมการไอโซเทอมการดูดซับของแลงเมียร์ (Langmuir's adsorption isotherm) และสมการไอโซเทอมการดูดซับของฟรุนดลิช (Freundlich's adsorption isotherm) โดยไอโซเทอมแต่ละรูปแบบมีรายละเอียดดังนี้

1. ไอโซเทอมการดูดซับของแลงเมียร์ มีสมมติฐานของสมการว่าทุกๆ ตำแหน่งดูดซับ (Adsorption site) มีลักษณะเหมือน ๆ กัน (Homogenous) และการดูดซับจะเกิดขึ้นบนพื้นผิวที่มีพื้นที่ในการดูดซับที่แน่นอนและพื้นที่นั้น ๆ สามารถดูดซับโมเลกุลได้เพียงชั้นเดียว(Monolayer) สมการสื้นต่อของไอโซเทอร์มการดูดซับแบบแลงเมียร์ ดังสมการ 1

$$\frac{C_e}{q_e} = \frac{1}{q_m} C_e + \frac{1}{K_L q_m} \quad \dots\dots\dots(1)$$

โดยที่ C_e = ความเข้มข้นที่สมดุลของตัวดูดซับ (มิลลิกรัมต่อลิตร) q_e = ปริมาณการดูดซับของตัวดูดซับที่สมดุล (มิลลิกรัมต่อกิโลกรัม) q_m = ปริมาณสารละลายที่ถูกดูดซับต่อปริมาณตัวดูดซับ (มิลลิกรัมต่อกิโลกรัม) และ K_L = ค่าคงที่ของสมการแลงเมียร์

2. ไอโซเทอร์มแบบฟรุนดลิช มีสมมติฐานของสมการว่าทุก ๆ ตำแหน่งดูดซับ (Adsorption site) มีลักษณะไม่เหมือนกัน (Heterogenous) และการดูดซับจะเกิดขึ้นสามารถดูดซับโมเลกุลได้หลายชั้น (Multilayer) สมการสื้นต่อของไอโซเทอร์มฟรุนดลิช ดังสมการ 2

$$\log \frac{1}{q_e - q_t} = \log K_F + \log \frac{1}{n} \quad \dots\dots\dots(2)$$

โดยที่ K_F = ปริมาณของสารละลายที่ถูกดูดซับต่อปริมาณของตัวดูดซับ (มิลลิกรัมต่อกิโลกรัม) n = ความเข้มข้นของสารละลายที่จดสมดุล (มิลลิกรัมต่อลิตร) q_t = ค่าคงที่ของฟรุนดลิช (ลิตรต่อมิลลิกรัม) และ t = ค่าคงที่สัมพันธ์กับพลังงานของการดูดซับ

2.11 จนพลศาสตร์การดูดซับ

จนพลศาสตร์การดูดซับด้วยสมการ Pseudo-First Order Equation ดังสมการ 3

$$\log(q_e - q_t) = \log q_e - \frac{k_1 t}{2.303} \quad \dots\dots\dots(3)$$

โดยที่ q_e = ความสามารถในการดูดซับที่สภาวะสมดุล (มิลลิกรัมต่อกิโลกรัม) q_t = ความสามารถในการดูดซับ (มิลลิกรัมต่อกิโลกรัม) k_1 = ค่าคงที่อัตราเร็วของปฏิกิริยาอันดับที่หนึ่ง (ต่อนาที) และ t = เวลาที่ใช้ในการดูดซับ (นาที)

สมการ Pseudo-Second Order Equation ตั้งสมการ 4

$$\frac{t}{q_t} = \frac{1}{k_2 q_e^2} + \frac{1}{q_e} t \quad \dots\dots\dots(4)$$

2.12 อุณหพลศาสตร์การดูดซับ

อุณหภูมิเป็นปัจจัยหนึ่งที่ส่งผลต่อกระบวนการการดูดซับ ดังนั้นจึงศึกษาพารามิเตอร์ทางอุณหพลศาสตร์ เช่น เอนทาลปี (ΔH) เอนโโทรปี (ΔS) และพลังงานอิสระ (ΔG) ของการดูดซับ ความสัมพันธ์ระหว่างเทอร์มการดูดซับและพารามิเตอร์ทางอุณหพลศาสตร์จะเขียนเป็นสมการได้ว่า

$$\log(q_e/C_e) = (\Delta S_{ads}/2.303R) - (\Delta H_{ads}/2.303RT) \quad \dots\dots\dots(5)$$

โดย q_e เป็นปริมาณการดูดซับมีหน่วยเป็น มิลลิกรัมต่อกิโลกรัม(mg/g) C_e เป็นความเข้มข้นของตัวถูกดูดซับที่ภาวะสมดุลมีหน่วยเป็น มิลลิกรัมต่อลิตร(mg/L) T เป็นอุณหภูมิในหน่วยเคลวิน (K) และ 0.082 เป็นค่าคงที่ของแก๊ส

พลังงานอิสระ (ΔG_{ads}) เอนโโทรปี (ΔS_{ads}) เอนทาลปี (ΔH_{ads}) ของการดูดซับจะเขียนเป็น ความสัมพันธ์ได้ว่า

$$\Delta G_{ads} = \Delta H_{ads} - T\Delta S_{ads} \quad \dots\dots\dots(6)$$

2.13 การกำจัดโคโรเมียมด้วยกระบวนการการดูดซับ

การกำจัดสีย้อมจากน้ำเสียบริวี่น์ในการกำจัดหอยเช坚实ที่แบบกายภาพและเคมีในกระบวนการต่าง ๆ แต่การดูดซับเป็นวิธีที่ได้เบริยบกว่าวิธีอื่น ๆ ทั้งในเรื่องของประสิทธิภาพในการกำจัดค่าใช้จ่าย ง่ายต่อการดำเนินระบบ และไม่ทำให้เกิดสารพิษ แต่ยังไงไรก็ตามการเลือกตัวดูดซับให้เหมาะสมและมีประสิทธิภาพก็เป็นสิ่งสำคัญมาก ซึ่งต้องคำนึงถึงค่าใช้จ่าย ในการบำบัดน้ำเสียด้วยในปัจจุบันมีการใช้ตัวดูดซับหรือมีการพัฒนาตัวดูดซับกันมากขึ้น ตัวดูดซับที่นิยมใช้ในปัจจุบัน ได้แก่ ตัวดูดซับที่เป็นวัสดุเหลือทิ้งจากการเกษตร เช่น ใบ กากใย เปลือกผลไม้ เมล็ด เป็นต้น และวัสดุเหลือทิ้งจากอุตสาหกรรม ไม่ที่สามารถใช้เป็นเชื้อเพลิงสำหรับทำอาหารและกล่องบรรจุภัณฑ์ รวมทั้งหาจ่ายและราคาไม่แพง (Garg, 2004) และมีสารอินทรีย์เป็นองค์ประกอบ (ลิกนิน เชลลูโลสและไฮมิเซลลูโลส) ของหมูโพลีฟีนอลิกซึ่งสามารถเกิดกลไกการจับ (binding) กับสารละลายเมทิลีนบูลูได้ (Shukla et al., 2002)

วัสดุเหลือทิ้งจากการเกษตร มีสารอินทรีย์ เป็นองค์ประกอบ (ลิกนิน เชลลูโลสและไฮมิเซลลูโลส) ของหมูโพลีฟีนอลิก ซึ่ง Jacobsen and Wyman (2000) กล่าวว่าเซลลูโลสเป็นองค์ประกอบที่สำคัญของผังเซลล์พืช โดยเซลลูโลสมีหมูไอดรอกซิล (-OH) ซึ่งสามารถแลกเปลี่ยนไอออนบวกกับไฮดรเจนได้ ไฮมิเซลลูโลสเป็นส่วนของพืชที่ประกอบด้วยโพลีแซคคาไรด์หลายชนิด ซึ่ง

พีซแอล์เชนิดจะมีองค์ประกอบที่แตกต่างกัน และลิกนิน (Lignin) เป็นสารประกอบเชิงซ้อนที่มีโครงสร้าง 3 มิติ เป็น aromatic polymer ไม่ชอบน้ำ(หมู่ฟังก์ชัน คือ หมู่ methoxyl group-OCH₃, หมู่ hydroxyl group-OH และส่วนที่เป็น Phenolic) หมู่ไฮดรอกซิลสามารถทำปฏิกิริยา กับ หมู่ฟังก์ชันอื่นหรือกับหมู่อัลดีไฮด์หรือหมู่คิโตกีด linkage ใหม่ขึ้นและจะสร้างพันธะต่อเนื่องกันไปเรื่อย ๆ

งานวิจัยที่เกี่ยวข้องในการกำจัดโครงเมียม

มนีรัตน์ องค์วรรณดี (2542). ศึกษาแนวทางในการบำบัดน้ำเสียจากโรงงานชุบโลหะ โดยการใช้โซเดียมโพโรไซดอร์ ในรูปของสารละลายที่เป็นด่าง (SBH) ความเข้มข้น 1.2% ของ NaBH₄ ใน 4% ของ NaOH กำจัดโลหะหนักที่ละลายในน้ำเสีย 4 ประเภท ได้แก่ น้ำเสียจากการชุบทองแดง น้ำเสียจากการชุบ никเกิล น้ำเสียจากการชุบโครงเมียมและน้ำเสียรวม ซึ่งเป็นน้ำเสียจริงที่ได้จากโรงงานชุบโลหะด้วยไฟฟ้า จากการทดลองพบว่า การบำบัดน้ำเสียจากการชุบทองแดงที่มีความเข้มข้น 550 มก./ล. ทำได้โดยการปรับพีโซของน้ำเสียด้วยด่างให้มีพีโซของ 4 ถึง 5 แล้วจึงเติม NaHSO₃ 5 เท่าของทองแดง และเติม SBH จนได้พีโซสุดท้ายประมาณ 7 จะสามารถกำจัดทองแดงทั้งหมดได้ตามมาตรฐานน้ำทิ้ง นอกจากนี้การใช้ปูนขาวปรับพีโซ จะมีผลให้ทองแดงทั้งหมดที่เหลือในน้ำต่ำกว่า 1 มก./ล. ได้ น้ำเสียจากการชุบ никเกิลที่มีความเข้มข้น 380 มก./ล. ให้ปรับพีโซของน้ำเสียเท่ากับ 8.5 ด้วยด่าง แล้วจึงเติม NaHSO₃ 0.5 เท่าของ никเกิล และเติม SBH จนได้พีโซสุดท้ายประมาณ 9 จะสามารถกำจัด nikเกิลละลายได้ตามมาตรฐานน้ำทิ้ง น้ำเสียจากการชุบโครงเมียม มีความเข้มข้น โครงเมียม นิกเกิล ทองแดง และสังกะสี เท่ากับ 1460 180 145 และ 90 มก./ล. ตามลำดับ การบำบัดขั้นแรกให้ทำปฏิกิริยากับ NaHSO₃ 3 เท่าของโครงเมียม หลังจากนั้นปรับพีโซของน้ำเสียเป็น 8 ด้วยด่าง เติม SBH ให้ได้พีโซสุดท้ายประมาณ 9 จะสามารถกำจัดโลหะหนักทุกชนิดที่ละลายในน้ำได้ตามมาตรฐานน้ำทิ้ง น้ำเสียรวมมีความเข้มข้นนิกเกิล ทองแดง โครงเมียม สังกะสี และเหล็ก เท่ากับ 1660 770 250 160 และ 140 มก./ล. ตามลำดับ มีขั้นตอนการบำบัดเช่นเดียวกับน้ำเสียจากการชุบโครงเมียม โดยใช้ปริมาณ NaHSO₃ 1 เท่าของโครงเมียม จากนั้นปรับพีโซของน้ำเสียเป็น 8 ด้วยด่าง เติม SBH จนได้พีโซสุดท้ายประมาณ 9.2 ถึง 9.5 จะสามารถกำจัดโลหะหนักทุกชนิดที่ละลายในน้ำได้ตามมาตรฐานน้ำทิ้ง ค่าใช้จ่ายทั้งหมดในการบำบัดน้ำเสียด้วย SBH สำหรับน้ำเสียจากการชุบทองแดง การชุบ никเกิล การชุบโครงเมียม และน้ำเสียรวม คิดเป็นเงิน 133 247 446 และ 541 บาทต่อน้ำเสีย 1 ลบ.ม. ตามลำดับ ซึ่งแยกเป็นค่าสาธารณูปโภค 106 242 335 และ 384 บาท ตามลำดับ และเป็นค่าใช้จ่ายในการกำจัดตะกอนเท่ากับ 27 5 111 และ 157 บาทตามลำดับ

จุฬาลักษณ์ ชาญกุล (2546) ศึกษาการกำจัดโครงเมียมออกจากน้ำเสียจริงจากอุตสาหกรรมชุบโลหะ โดยกระบวนการโพโตคاتไลซิสทางตรงและกระบวนการโพโตคاتไลซิสทางอ้อม โดยใช้ไฟฟ้า เนียมไดออกไซด์เป็นสารก่ำตัวนำในการทำปฏิกิริยา น้ำเสียที่ใช้ในการศึกษาครั้งนี้มีปริมาณโครงเมียมทั้งหมดเท่ากับ 300 มิลลิกรัมต่อลิตรและมีค่าพีโซเริ่มต้นเท่ากับ 3.65 ทำการทดลองในถังปฏิกิริณแบบแก้วและภาชนะที่ผลการศึกษาในครั้งนี้พบว่ากระบวนการโพโตคاتไลซิสโดยตรงไม่สามารถ

กำจัดโครงเมียมออกจากน้ำเสียได้ แต่เมื่อทดลองด้วยกระบวนการฟอโตคATALIC ทางอ้อม โดยการเติมไอโอนฟอร์เมทเข้าไปในระบบ จะทำให้โครงเมียมทั้งประจุบวกหกและประจุบวกสามที่อยู่ในน้ำสามารถถูกกำจัดออกได้จนหมด

สุธินี วงศิริศักดิ์ (2550) การศึกษาถึงการกำจัดโครงเมียมด้วยวัชพืชโดยวิธีการปลูกพืชในดินและไร่ดิน ซึ่งเป็นการใช้ความสามารถของวัชพืชที่พบในประเทศไทยที่สามารถดูดซับโครงเมียม (Cr) จากดินที่มีการปนเปื้อน วัชพืชที่เลือกศึกษาคือ ต้นก้างปลา (*Phyllanthus reticulatus* Poir.) เนื่องจากเป็นพืชที่ไม่มีค่าทางเศรษฐกิจและไม่มีผลกระทบต่อสิ่งแวดล้อม และยังเป็นพืชที่สามารถสะสมโครงเมียมทั้งหมด (TCr) ได้ โดยทำการศึกษาด้วยการปลูกลงดินในกระถางที่ระดับความเข้มข้นของโครงเมียม เชกษาว่าเล่นที่ Cr(VI) 0 และ 100 มิลลิกรัมต่อกิโลกรัมดิน พบราก ลำต้น และใบ ของต้นก้างปลาสามารถสะสมโครงเมียมทั้งหมดเท่ากับ 390.57, 61.47 และ 58.67 มิลลิกรัมต่อกิโลกรัมโดยน้ำหนักแห้ง ตามลำดับ เป็นเวลา 30 วัน ส่วนโครงเมียมไตรวาเลนท์ Cr(III) ที่ดูดซับส่วนมากพบราก ลำต้น และใบ เท่ากับ 291.35, 3.43 และ 3.35 มิลลิกรัมต่อกิโลกรัมโดยน้ำหนักแห้ง ตามลำดับ ที่เวลา 30 วัน ในขณะที่มีการสะสมโครงเมียมเชกษาว่าเล่นที่ใน rak ลำต้น และใบ เท่ากับ 99.21, 58.04 และ 55.32 มิลลิกรัมต่อกิโลกรัมโดยน้ำหนักแห้ง ตามลำดับ นอกจากนี้ ยังได้ทำการศึกษาโดยการปลูกพืชในน้ำเสียสังเคราะห์โครงเมียมเชกษาว่าเล่นที่ที่ระดับความเข้มข้น 5, 10 และ 15 มิลลิกรัมต่อลิตร ซึ่งการศึกษาพบว่า ที่ระดับความเข้มข้น 15 มิลลิกรัมต่อลิตร rak ใบ และลำต้นของต้นก้างปลาสามารถดูดซับและสะสมโครงเมียมทั้งหมดเท่ากับ 6,616.12, 14.46 และ 0 มิลลิกรัมต่อกิโลกรัม โดยน้ำหนักแห้ง ตามลำดับ ที่เวลา 60 วัน ส่วนโครงเมียมไตรวาเลนท์พบรain ในส่วนของ rak ใบ และ ลำต้น เท่ากับ 5,790.03, 8.04 และ 0 มิลลิกรัมต่อกิโลกรัมโดยน้ำหนักแห้ง ตามลำดับ ที่เวลา 60 วัน และ มีการสะสมโครงเมียมเชกษาว่าเล่นที่ ในส่วนของ rak ใบ และ ลำต้น เท่ากับ 826.15, 6.41 และ 0 มิลลิกรัมต่อกิโลกรัมโดยน้ำหนักแห้ง ตามลำดับ ที่เวลา 60 วัน เช่นกัน ซึ่งผลจากการสะสมและเคลื่อนย้ายโครงเมียมในส่วนต่างๆ ของพืชพบว่า โครงเมียมส่วนใหญ่ถูกเคลื่อนย้ายโดย phytoextraction และต้นก้างปลา (*Phyllanthus reticulatus*) เป็นพืชที่มีศักยภาพสำหรับบำบัดดินหรือน้ำที่ปนเปื้อนโครงเมียม

ประวรดา โภชนจันทร์ (2554). ศึกษาวิเคราะห์คุณสมบัติบางประการทางกายภาพและทางเคมีของน้ำเสีย จากระบวนการชุบโลหะ โดยเปรียบเทียบกับค่ามาตรฐานและศึกษาแนวทางการจัดการน้ำเสียที่เหมาะสมจาก กระบวนการชุบโลหะของโรงงานผลิตข้อต่อเหล็กตันแบบ ผลการศึกษาคุณลักษณะน้ำเสียทางกายภาพ โดยใช้ดัชนีปริมาณของแข็งละลายน้ำทั้งหมด (TDS) และคุณลักษณะน้ำเสียทางเคมี โดยใช้ดัชนีค่าความเป็นกรดเป็นด่าง (pH) ค่าน้ำมันและไขมัน (O&G) ค่าไซยาไนด์ (Cyanide) และค่าโลหะหนัก ได้แก่ เหล็ก (Fe) โครงเมียมชนิดเชกษาว่าเล่นท์ (Cr⁶⁺) ตะกั่ว (Pb) สังกะสี (Zn) และ แมงกานีส (Mn) จากกระบวนการชุบโลหะแบบจุ่มร้อน (Galvanizing process) ได้แก่ การกำจัดคราบไขมันด้วย โซดาไฟ การกำจัดคราบสนิม และการกระตุนผิวชั้นงานโดยการจุ่มในปอกรดไฮโดรคลอริก การจุ่มฟลักซ์เพื่อกระตุนผิว ให้เกิดปฏิกิริยาระหว่างเหล็กและสังกะสีโดยใช้แอมโมเนียมคลอไรด์กับซิงค์คลอไรด์ผสมกัน และการชุบสังกะสีในบ่อสังกะสีหลอมเหลว

เป็นตัวชี้วัด พ布ว่า มีค่าเกินมาตรฐานตามประกาศกระทรวงวิทยาศาสตร์เทคโนโลยีและสิ่งแวดล้อม ฉบับที่ 3 (พ.ศ. 2539) ลงวันที่ 3 มกราคม 2539 เรื่องกำหนดมาตรฐานควบคุมการระบายน้ำทึ้งจาก แหล่งกำเนิด ประเภทโรงงานอุตสาหกรรมและนิคมอุตสาหกรรม ซึ่งส่งผลกระทบต่อคุณภาพน้ำ จึง ควรจัดการน้ำเสียอย่างเหมาะสม ก่อนปล่อยสู่แหล่งน้ำตามธรรมชาติ การจัดการน้ำเสียจาก กระบวนการชุบโลหะของบริษัทบีสไฟฟ์ พิตติ้ง อินดัสทรี จำกัด โดยการปรับปรุงกระบวนการชุบ โลหะเพื่อเพิ่มประสิทธิภาพของการผลิตและลดมลพิษจากการบวนการผลิต ทั้งการตรวจสอบความ สะอาดขั้นงานในขั้นตอนการจัดไขมันและการจัดสนิมเหล็ก การกำหนดมาตรฐานระยะเวลา ใน การจุ่มและทำการยกขึ้นในการจุ่มขั้นงานลงในบ่อสังกะสีหลอมเหลว และเลือกวิธีการบำบัดด้วยใบ โรไฮเดรต์ดักชัน เป็นการบำบัด เพื่อแยกโลหะหนักออกจากน้ำเสียให้สามารถนำกลับมาใช้ได้ใหม่

ศศิพา ฉิมพลี และคณะ (2560) ศึกษาการดูดซับโครงเมียม (VI) ในน้ำเสียด้วยถ่านกัมมันต์จาก เปลือกทุเรียน ทำการศึกษาปัจจัยที่มีอิทธิผลต่อการดูดซับโครงเมียม ปริมาณถ่านกัมมันต์ความเข้มข้น ของสารละลายน้ำโครงเมียม พีเอช และระยะเวลาในการดูดซับ ทำการเผาเปลือกทุเรียนที่อุณหภูมิ 400 และ 500 องศาเซลเซียส เป็นเวลา 1-3 ชั่วโมง เพื่อเตรียมถ่านคาร์บอนซี และระดับให้เป็นถ่าน กัมมันต์ด้วยโพแทสเซียมไออกไซด์ 50% อัตราส่วน 1:3 ที่อุณหภูมิ 500 องศาเซลเซียสเป็นเวลา 1 ชั่วโมง และศึกษาไอโซเทอมการดูดซับโครงเมียม ผลการศึกษาพบว่าความสามารถในการดูดซับ โครงเมียมมีแนวโน้มลดลง เมื่อปริมาณตัวดูดซับและความเข้มข้นของตัวถูกดูดซึ้งเพิ่มขึ้นความสามารถ ใน การดูดซับโครงเมียมเท่ากับ 4.81 มิลลิกรัมต่อกรัม ที่พีเอช 2 การดูดซับเกิดขึ้นอย่างรวดเร็วในช่วง 10 นาทีแรก ไอโซเทอมการดูดซับสอดคล้องกับไอโซเทอมแบบฟลูนดลิช ประสิทธิภาพการดูดซับ โครงเมียมจากน้ำเสียจากการวิเคราะห์โดยเดี่ยวเท่ากับ 100 เปอร์เซนต์

Hasan et al (2008) ศึกษาการกำจัดโครงเมียม (+6) ด้วยรำข้าวโพดในระบบแบท ปัจจัยที่ศึกษา ได้แก่ พีเอช เวลาที่สัมผัส ความเข้มข้น และอุณหภูมิ ผลการทดลองพบว่าประสิทธิภาพการดูดซับ โครงเมียมสูงสุดที่ค่าพีเอชเท่ากับ 2 มีค่าความสามารถในการดูดซับเท่ากับ 312.52 มิลลิกรัมต่อกรัม ความเข้มข้นสารละลายน้ำ 200 มิลลิกรัมต่อลิตร ที่อุณหภูมิ 40 องศาเซลเซียส ผลการทดลองที่ได้ สามารถอธิบายได้ด้วยสมการลงเอยร์ และสอดคล้องกับจนพลศาสตร์การดูดซับอันดับสอง

บทที่ 3

วิธีดำเนินการวิจัย

3.1 การเตรียมสารละลายน้ำมีเมียม

สารละลายน้ำมีเมียมที่ใช้ได้แก่ $K_2Cr_2O_7$ ทำการเตรียมให้สารละลามีความเข้มข้น 500 มิลลิกรัมต่อลิตร

3.2 เครื่องมือที่ใช้ในการวิจัย

3.2.1 เครื่องมือที่ใช้ในการทดลอง

1. ตู้อบความร้อน (hot air oven) บริษัท Memmert GMBH
2. โถดูดความชื้น (desiccator)
3. เครื่องซั่ง 4 ตำแหน่ง (analytical balance) บริษัท Mettler Toledo
4. เครื่องเขย่าควบคุมอุณหภูมิ (shaker bath) บริษัท Forma Scientific
5. เครื่องวัดความเป็นกรด-ด่าง (pH meter)
6. เครื่องกวนสาร (stirrer vertical)
7. เครื่องคนอัตโนมัติ (magnetic stirrer)
8. เครื่องวัดค่าการดูดกลืนแสง (UV-Vis spectrophotometer)

3.2.2 อุปกรณ์ที่ใช้ในการทดลอง

1. ชุดกรองสูญญากาศ (vacuum)
2. บีกเกอร์ (beaker)
3. ขวดปรับปริมาตร (volumetric flask)
4. ขวดรูปเชมพ์ (erlenmeyer flask)
5. แท่นแก้ว (stirrer)
6. แท่นกวน (magnetic stirrer)
7. กรวยกรอง (funnel)
8. ขวดน้ำกลิ้น (washing bottle)
9. ปีเพต (pipet)
10. หลอดหยด (dropper)
11. ข้อมตักสาร (spatular)
12. กระจะนาฬิกา (watch glass)
13. กระดาษกรองเบอร์ 42 (filter paper whatman No.42)

3.2.3 สารเคมีที่ใช้ในการทดลอง

1. กรดไฮโดรคลอกริก (HCl) ชนิด AR grade จากบริษัท Merck ประเทศเยอรมัน
2. โซเดียมไฮดรอกไซด์ (NaOH) ชนิด AR grade จากบริษัท APS Ajax Finechem ประเทศอสเตรเลีย
3. โปแทสเซียมไดโครเมต ($K_2Cr_2O_7$) ชนิด AR grade จากบริษัท APS Ajax Finechem ประเทศอสเตรเลีย
4. 1,5 ไดพินิลคาร์บาร์โซเดียม ($C_{13}H_{14}N_4O$) ชนิด AR grade จากบริษัท APS Ajax Finechem ประเทศอสเตรเลีย

3.3 วิธีการดำเนินการวิจัย

3.3.1. ประชากรและกลุ่มตัวอย่าง

น้ำตัวอย่าง เป็นน้ำตัวอย่างที่เตรียมขึ้นและน้ำตัวอย่างจริงจากการซุบโลหะในอุตสาหกรรมครัวเรือน อำเภอเมือง จังหวัดพบuri

ตัวตุ๊ดช้อน คือ วัสดุเหลือทิ้งทางการเกษตร ได้แก่ แกลบและchan อ้อย จากตำบลยางราก อำเภอโคกเจริญ จังหวัดพบuri

การเตรียมตัวตุ๊ดช้อน

นำแกลบและchan อ้อย (ตัดให้มี 1-2 เซนติเมตร) มาล้างน้ำและแช่ด้วย 0.1 M HCl นำไปอบให้แห้งที่อุณหภูมิ 80 องศาเซลเซียส และนำมาคัดขนาดให้ได้ออนุภาค 50–100 เมช เก็บในโถดูความชื้น

3.3.2 ศึกษาองค์ประกอบทางกายภาพและเคมีของแกลบและchan อ้อย ได้แก่

1. วิเคราะห์ลักษณะทางสัณฐานวิทยา Scanning Electron Microscope equipped (SEM) เพื่อศึกษาถึงพื้นผิวและการกระจายตัวของรูพรุน
2. วิเคราะห์หมู่ฟังก์ชันด้วย Fourier transform infrared spectroscopy (FT-IR) เพื่อศึกษาถึงหมู่ฟังก์ชัน

3.4 ศึกษาประสิทธิภาพและปัจจัยที่มีผลต่อการตุ๊ดช้อนโครเมียม (+6)

3.4.1 ศึกษาประสิทธิภาพการกำจัดโครเมียม (+6)

ศึกษาประสิทธิภาพการกำจัดโครเมียม (+6) ด้วยปัจจัยต่าง ๆ ได้แก่ พีเอช เวลา ที่สัมผัส ความเข้มข้นของสารละลายและอุณหภูมิ มีขั้นตอนการทดลองมีดังนี้

3.4.1.1 ศึกษาผลของความเป็นกรด-ด่างของสารละลาย

1. ชั่งตัวตุ๊ดช้อนแกลบและchan อ้อยปริมาณที่เหมาะสม ลงในขวดรูปทรงพู่ขนาด 250 มิลลิลิตร
2. ปีเปต้น้ำตัวอย่าง ปริมาตร 150 มิลลิลิตร ใส่ในขวดรูปทรงพู่ในข้อ 1 ปรับค่าความเป็นกรด-ด่าง 2-5

3. นำตัวอย่างมาเขย่าที่เวลา 3 ชั่วโมง ความเร็ว 200 รอบต่อนาที อุณหภูมิ 30°C
4. นำสารละลายที่เวลาต่างๆไปกรองด้วยกระดาษกรองเบอร์ 42 และวัดปริมาณโคโรเมียม (+6) ที่เหลือด้วยเครื่อง UV-Vis spectrophotometer ที่ความยาวคลื่น 540 นาโนเมตร
5. ทำการทดลองซ้ำ 3 ชั้้า และนำค่าปริมาณการดูดซับที่เวลาต่างๆไปเขียนกราฟ เพื่อหาความสามารถในการกำจัดสูงสุด

3.4.1.2 ศึกษาเวลาที่เข้าสู่สมดุล

1. ชั่งตัวดูดซับแกลบและchanan อ้อยปริมาณที่เหมาะสม ลงในขวดรูปทรงพู่ขนาด 250 มิลลิลิตร
2. ปีเปตัน้ำตัวอย่าง ปริมาตร 150 มิลลิลิตร ใส่ในขวดรูปทรงพู่ในข้อ 1 และปรับค่าความเป็นกรด-ด่างตามข้อ 3.4.1.1
3. นำตัวอย่างมาเขย่าที่ช่วงเวลาต่างๆ ($5\text{-}420$ นาที) ที่ความเร็ว 200 รอบต่อนาที อุณหภูมิ 30°C
4. นำสารละลายที่เวลาต่างๆไปกรองด้วยกระดาษกรองเบอร์ 42 และวัดปริมาณโคโรเมียม (+6) ที่เหลือด้วยเครื่อง UV-Vis spectrophotometer ที่ความยาวคลื่น 540 นาโนเมตร
5. ทำการทดลองซ้ำ 3 ชั้้า และนำค่าปริมาณการดูดซับที่เวลาต่างๆไปเขียนกราฟ เพื่อหาเวลาที่เข้าสู่สมดุล

3.4.1.3. ศึกษาผลของความเข้มข้นสารละลายโคโรเมียม (+6)

1. ชั่งแกลบและchanan อ้อยปริมาณที่เหมาะสม ลงในขวดรูปทรงพู่ขนาด 250 มิลลิลิตร
2. ปีเปตัน้ำตัวอย่างที่ความเข้มข้นต่างๆ ($20\text{-}50$ มิลลิกรัมต่อลิตร) ปริมาตร 150 มิลลิลิตร ลงในขวดรูปทรงพู่ ในข้อ 1 และปรับค่าความเป็นกรด-ด่างตามข้อ 2.3.1
3. นำตัวอย่างมาเขย่าที่ช่วงเวลาเข้าสมดุลจากข้อ 2.3.2 ที่ความเร็ว 200 รอบต่อนาที อุณหภูมิ 30°C
4. นำสารละลายที่ได้ไปกรองด้วยกระดาษกรองเบอร์ 42 และวัดปริมาณโคโรเมียม (+6) ที่เหลือด้วยเครื่อง UV-Vis spectrophotometer ที่ความยาวคลื่น 540 นาโนเมตร
5. ทำการทดลองซ้ำ 3 ชั้้า

3.4.1.4 ศึกษาผลของอุณหภูมิในการดูดซับ

1. ขั้นตอนและขานอ้อยปูริมาณที่เหมาะสม ลงในขวดรูปปัมพู่ขนาด 250 มิลลิลิตร
2. ปีเปตัน้ำตัวอย่างที่ความเข้มข้นต่าง ๆ (20-50 มิลลิกรัมต่อลิตร) ปริมาตร 150 มิลลิลิตร ลงในขวดรูปปัมพู่ ในข้อ 1 และปรับค่าความเป็นกรด-ด่างตามข้อ 2.3.1
3. นำตัวอย่างมาเขย่าที่ช่วงเวลาเข้าสมดุลจากข้อ 2.3.2 ที่ความเร็ว 200 รอบต่อนาที อุณหภูมิ 20 30 และ 40 °C
4. นำสารละลายที่ได้ไปกรองด้วยกระดาษกรองเบอร์ 42 และวัดปริมาณ โคลเมียน (+6) ที่เหลือด้วยเครื่อง UV-Vis spectrophotometer ที่ความยาวคลื่น 540 นาโนเมตร
5. ทำการทดลองซ้ำ 3 ซ้ำ

นำข้อมูลมาคำนวณดังสมการ

$$\% \text{ การกำจัด} = \frac{(C_0 - C_t)}{C_0} \times 100 \quad \dots\dots\dots(6)$$

และคำนวณความสามารถในการกำจัด (adsorption capacity) ดังสมการ 7

$$q = \frac{V(C_0 - C_t)}{W} \quad \dots\dots\dots(7)$$

โดยที่ q = ความสามารถในการกำจัด (มิลลิกรัมต่อกิโลกรัม) C_0 = ความเข้มข้นเริ่มต้นของน้ำตัวอย่าง (มิลลิกรัมต่อลิตร) C_t = ความเข้มข้นที่เหลืออยู่ที่เวลาหนึ่ง ๆ (มิลลิกรัมต่อลิตร) V = ปริมาตรสารละลายที่ใช้ (ลิตร) และ W = ปริมาณตัวดูดซับ (กรัม)

บทที่ 4

ผลการวิจัยและอภิปรายผลการทดลอง

ในการทดลองนี้ แบ่งการทดลองดังบทที่ 3 ที่มีขั้นตอนการทดลองดังนี้

ตอนที่ 1 การเตรียมตัวดูดซับ

1. แกลบ
2. chan อ้อย

ตอนที่ 2 ศึกษาคุณลักษณะทางกายภาพและเคมีของตัวดูดซับ ได้แก่

1. วิเคราะห์พื้นผิวด้วย Scanning Electron Microscope (SEM)
2. วิเคราะห์หมู่พิมพ์ขันด้วย Fourier transform infrared spectroscopy (FT-IR)

ตอนที่ 3 ประสิทธิภาพการดูดซับโคเมียม (+6) โดยศึกษาปัจจัยที่มีผลต่อการดูดซับ ได้แก่

1. ค่าความเป็นกรด-ด่างของสารละลาย
2. เวลาที่เข้าสู่สมดุล
3. ความเข้มข้นของสารละลาย
4. อุณหภูมิ

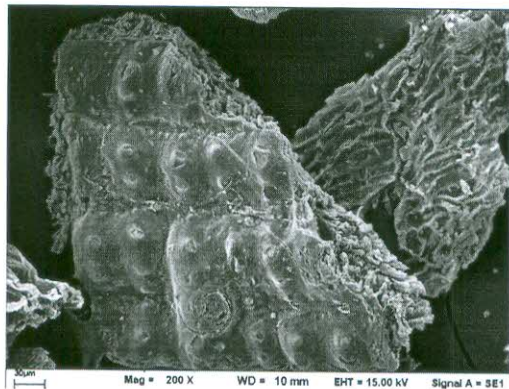
ตอนที่ 4 จากผลการทดลองใช้แบบจำลองคณิตศาสตร์แบบไอโซเทอร์มและจอนพลศาสตร์ การดูดซับ โดยผลการทดลองมีรายละเอียด ดังต่อไปนี้

4.1 การเตรียมตัวดูดซับแกลบและchan อ้อย

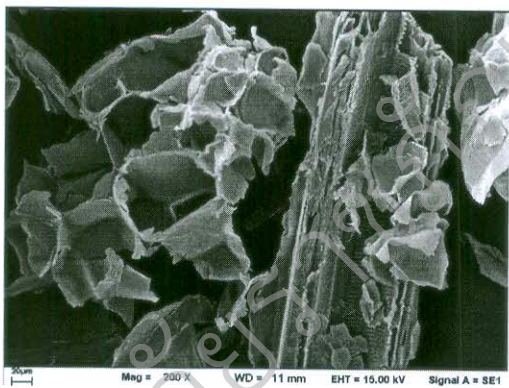
1. แกลบและchan อ้อยมาล้างน้ำ และนำไปอบให้แห้งที่อุณหภูมิ 80 องศาเซลเซียส
2. นำไปป่นและคัดขนาดให้ได้อันุภาค 50–100 เมช
3. นำแกลบและchan อ้อยไปแข็งด้วย 0.1 M HCl อัตราส่วน 10 กรัม : 250 มิลลิลิตร เวลา 12 ชั่วโมง ล้างด้วยน้ำก่อนล้วนจนสารละลายเป็นกลาง และอบที่อุณหภูมิ 80 องศาเซลเซียส เก็บในถุงดูดความชื้น

4.2 ศึกษาคุณลักษณะทางกายภาพและเคมีของตัวดูดซับ

4.2.1 วิเคราะห์ลักษณะพื้นผิวของตัวดูดซับได้แก่ แกลบและชานอ้อย ดังรูปที่ 4.1 (ก) และ (ข) ตามลำดับ



(ก) พื้นผิวของแกลบ

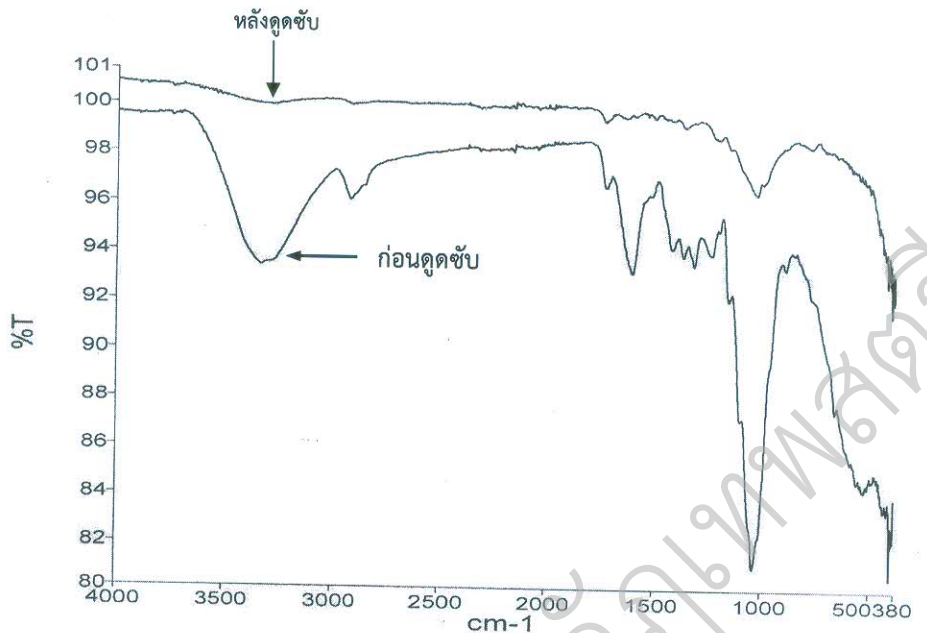


(ข) พื้นผิวของชานอ้อย

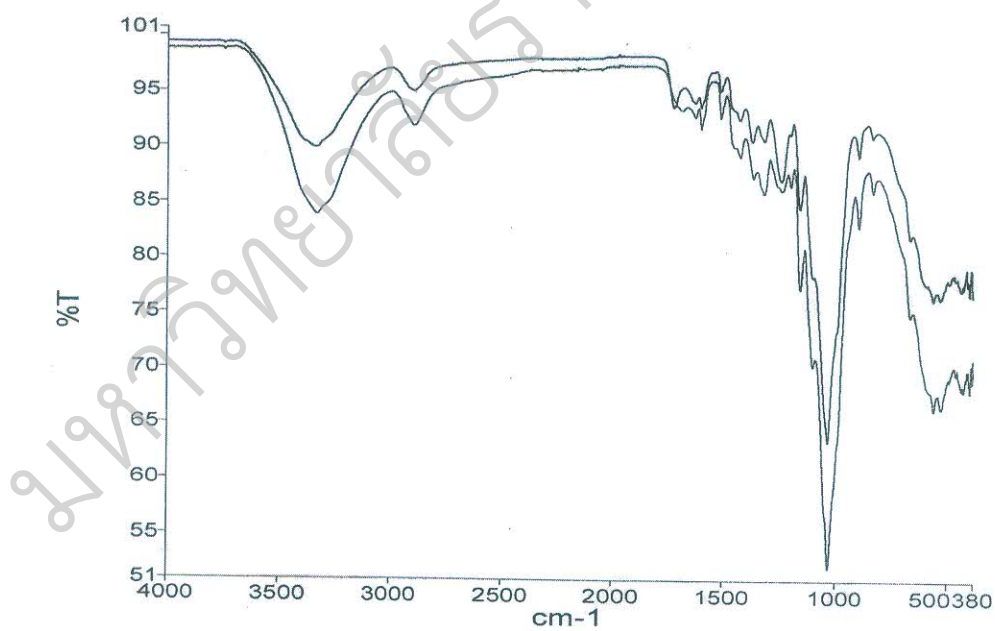
รูปที่ 4.1 พื้นผิวของแกลบและชานอ้อย

จากรูปที่ 4.1 (ก) พื้นผิวของแกลบชานอ้อยมีลักษณะพื้นผิวเรียบและมีรูพรุน ส่วนรูป (ข) พื้นผิวของชานอ้อย พบว่ามีลักษณะพื้นผิวที่ขรุขระ มีรูพรุนทั้งขนาดเล็กและใหญ่จำนวนมาก

4.1.2 วิเคราะห์หมู่ฟังก์ชันด้วย Fourier transform infrared spectroscopy (FT-IR) ของตัวคุณภาพ ได้แก่ แกลบและ chan อ้อย ดังรูปที่ 4.2 และ 4.3 ตามลำดับ



รูป 4.2 ก หมู่ฟังก์ชันของแกลบ



รูป 4.2 ข หมู่ฟังก์ชันของ chan อ้อย

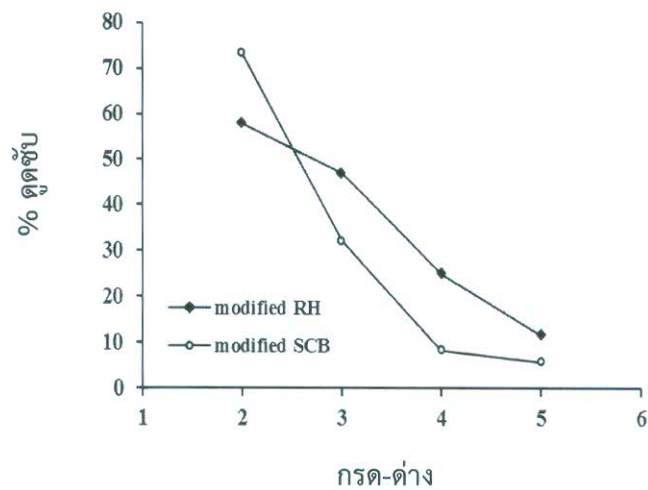
จากรูปที่ 4.2 ก และ ข. วิเคราะห์หมู่ฟังก์ชันตัวคูดซับก่อนคูดซับและหลังคูดซับของแกลบและชาノอ้อย ที่ความยาวคลื่น $4000\text{-}450 \text{ cm}^{-1}$ พบร่วมกันและหลังคูดซับโครงเมียมมีความแตกต่างกันทั้งสองตัวคูดซับ ดังตารางที่ 4.1

ตารางที่ 4.1 หมู่ฟังก์ชันของแกลบและชาโนอ้อย

ชาโนอ้อย	แกลบ	หมู่ฟังก์ชัน	อ้างอิง
3,338	3,334	-OH and Si-OH	Thiravetyan et al., 2007 อ้างใน Daffalla
2,897	2,925	C-H stretching	Guilherme et al., 2015
1,700	-	C=O stretching	Guilherme et al., 2015
1,603	1,604	C-H vibration	Guilherme et al., 2015
1,514	-	C=C-C aromatic stretching in lignin O-H phenolic	Ang et al., 2012
1,371	-	CHOH stretching of alcohol group	Guilherme et al., 2015
1,242	1,211	O-H stretching secondary alcohol C-O stretching	Ang et al., 2012
1,160	-	Si-O-Si	El-Sayed, 2011
1,035	1,031	C-H deformation in cellulose	Ang et al., 2012
897	-	Si-O-Si	Hassani et al., 2015
-	784	Si-H	Ang et al., 2012

4.3 ผลของการเป็นกรด-ด่างของสารละลาย

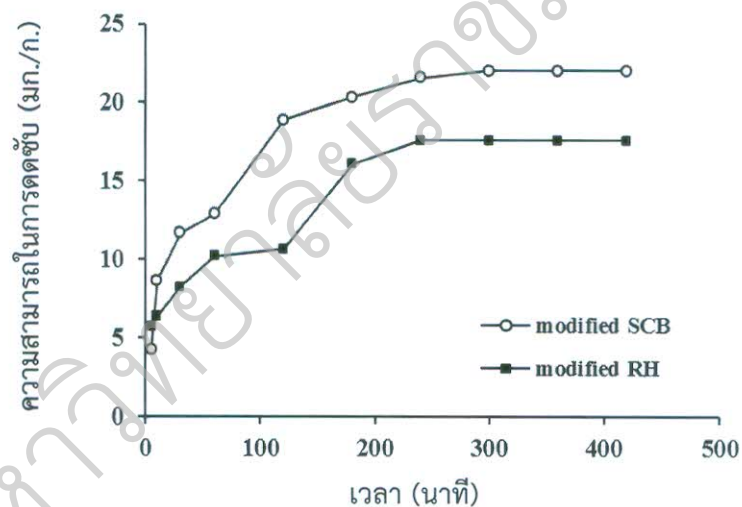
ศึกษาผลของการด่างของสารละลาย ที่ค่าความเป็นกรด-ด่าง 2-5 ความเข้มข้นของสารละลาย 20 มิลลิลิตรร่วมต่อลิตร ปริมาตร 150 มิลลิลิตร ปริมาณตัวคูดซับ 0.1 กรัม ที่อุณหภูมิ 30 องศาเซลเซียส ดังรูปที่ 4.3 ผลการทดลองพบว่าค่าความเป็นกรด-ด่างเท่ากับ 2 มีร้อยละความเป็นกรด-ด่างมากที่สุด และเมื่อค่าความเป็นกรด-ด่างมากขึ้นจะทำให้ร้อยละการดูดซับลดลง โดยมีค่าร้อยละการดูดซับเทากับ 73.24-8.64% และ 57.19-10.24% ของชาโนอ้อยและแกลบ ตามลำดับ



รูปที่ 4.3 ผลของค่าความเป็นกรด-ด่างของสารละลาย

4.4 ผลของเวลาที่เข้าสู่สมดุล

ทำการทดลองการดูดซับที่เวลาสมดุล 5 10 30 60 90 120 240 360 และ 420 นาที ปริมาณตัวดูดซับ 0.1 กรัม ความเข้มข้นสารละลาย 20 มิลลิกรัมต่อลิตร ความเป็นกรด-ด่างเท่ากับ 2 ปริมาตร 150 มิลลิลิตร ที่อุณหภูมิ 30 องศาเซลเซียส ดังรูปที่ 4.4

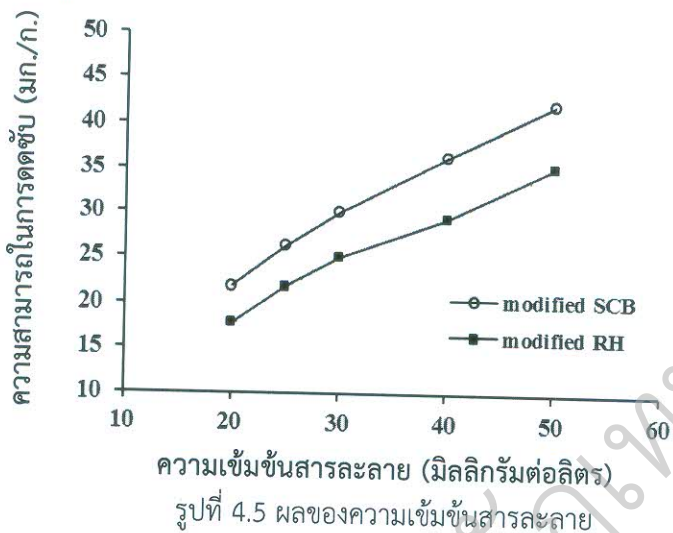


รูปที่ 4.4 ผลของเวลาในการดูดซับ

ผลของเวลาที่มีต่อประสิทธิภาพการดูดซับโครงเมี่ยมด้วยแกลบและชานอ้อย ดังรูปที่ 4.4 ผลการทดลองที่เวลา 5-420 นาที พบร่วมกันว่าการดูดซับอย่างรวดเร็วของทั้งสองตัวดูดซับ และการดูดซับดำเนินไปเรื่อยๆ และการดูดซับเกิดขึ้นอย่างรวดเร็ว จนกระทั่งดูดซับช้าลงและเข้าสู่สมดุลที่เวลา 300 นาที ทั้งสองตัวดูดซับ โดยมีค่าความสามารถในการดูดซับที่สมดุลเท่ากับ 4.275-21.954 มิลลิกรัมต่อกิโลกรัมและสำหรับชานอ้อย และ 5.698-17.557 มิลลิกรัมต่อกิโลกรัมสำหรับแกลบ

4.5 ผลของความเข้มข้นสารละลาย

ทำการทดลองการดูดซับที่ความเข้มข้นสารละลาย 20 25 30 40 และ 50 มิลลิกรัมต่อลิตร ปริมาตร 150 มิลลิลิตร ความเป็นกรด-ด่างเท่ากับ 2 โดยใช้ปริมาณตัวดูดซับ 0.1 กรัม ที่อุณหภูมิ 30 องศาเซลเซียส ดังรูปที่ 4.5

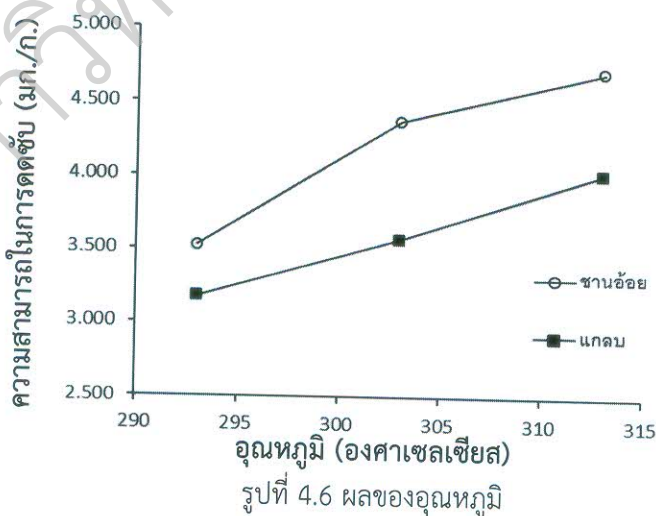


รูปที่ 4.5 ผลของความเข้มข้นสารละลาย

ผลของความเข้มข้นสารละลายในการดูดซับด้วยแกลบและ chan อ้อย ที่ความเข้มข้นสารละลาย 20-50 มิลลิกรัมต่อลิตร ผลการทดลองพบว่าเมื่อความเข้มข้นสารละลายมากขึ้นทำให้ค่าความสามารถในการดูดซับมากขึ้น โดยมีค่าความสามารถในการดูดซับเท่ากับ 21.808-42.208 มิลลิกรัมต่อลิตรสำหรับ chan อ้อย และ 17.830- 35.273 มิลลิกรัมต่อลิตรสำหรับแกลบ

4.6 ผลของอุณหภูมิ

ทำการทดลองการดูดซับที่ความเข้มข้นสารละลาย 20 มิลลิกรัมต่อลิตร ปริมาตร 150 มิลลิลิตร ความเป็นกรด-ด่าง 2 โดยใช้ปริมาณตัวดูดซับ 0.1 กรัม ที่อุณหภูมิ 20-40 องศาเซลเซียส ดังรูปที่ 4.6



รูปที่ 4.6 ผลของอุณหภูมิ

ผลของอุณหภูมิในการดูดซึบด้วยแกลบและชานอ้อย ที่ความเข้มข้นสารละลายน 20 มิลลิกรัมต่อลิตร ผลการทดลองพบว่า เมื่ออุณหภูมิมากขึ้นทำให้ค่าความสามารถในการดูดซึบมากขึ้น โดยมีค่าความสามารถในการดูดซึบท่ากับ $3.176 - 4.024$ มิลลิกรัมต่อลิตรสำหรับชานอ้อย และ $3.524 - 4.712$ มิลลิกรัมต่อลิตรสำหรับแกลบ

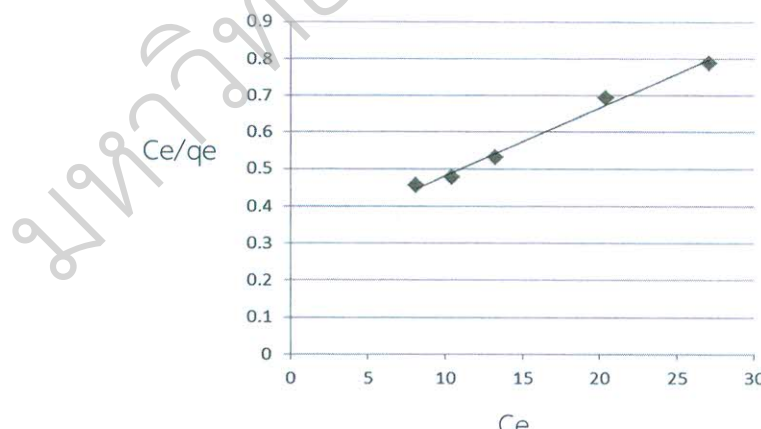
4.7 ไอโซเทอร์มการดูดซึบ

ไอโซเทอร์มของการกำจัดโครเมียม (+6) ด้วยแกลบและชานอ้อย เป็นการทำความสัมพันธ์ระหว่างปริมาณของสารละลายโครเมียม (+6) ที่ถูกดูดซึบต่อหน่วยน้ำหนักของแกลบและชานอ้อย กับความเข้มข้นของสารละลายโครเมียม (+6) ที่เหลืออยู่ที่ภาวะสมดุล ณ อุณหภูมิที่คงที่เพื่อหา ไอโซเทอร์มที่เหมาะสม และใช้อิฐไบลักษณะการดูดซึบผลการทดลองและค่าความสามารถสัมพันธ์ตาม สมการไอโซเทอร์มจะเป็นดังตารางที่ 4.2 และ 4.3

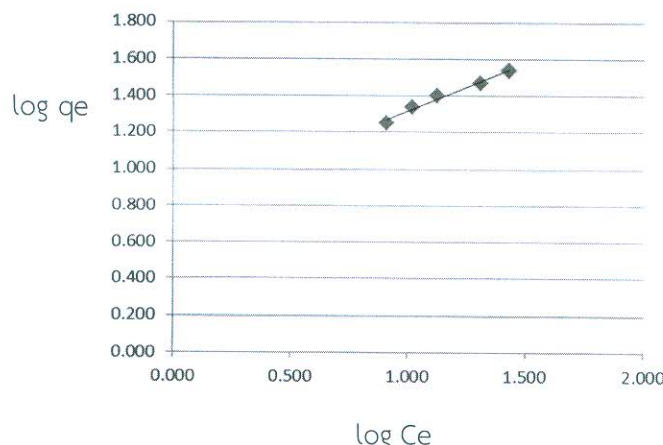
ตารางที่ 4.2 ผลการคำนวณจากไอโซเทอร์มการกำจัดโครเมียม (+6) ด้วยแกลบ

ความเข้มข้น (mg/l)	Ce (mg/L)	qe (mg/g)	Ce/qe	log Ce	log qe
20	8.113	17.830	0.455	0.909	1.251
25	3.478	21.849	0.477	1.018	1.339
30	4.433	25.051	0.530	1.124	1.399
40	4.080	29.398	0.693	1.310	1.468
50	5.418	34.361	0.788	1.433	1.536

จากข้อมูลในตารางที่ 4.1 เมื่อนำมาเขียนกราฟแบบสมการเส้นตรง (linear equation) จะได้กราฟเส้นตรงของไอโซเทอร์มลงเมเยอร์กับฟรุนเดลิชของแกลบ ดังรูป 4.7-4.8



รูปที่ 4.7 ไอโซเทอร์มการดูดซึบลงเมเยอร์ของแกลบ

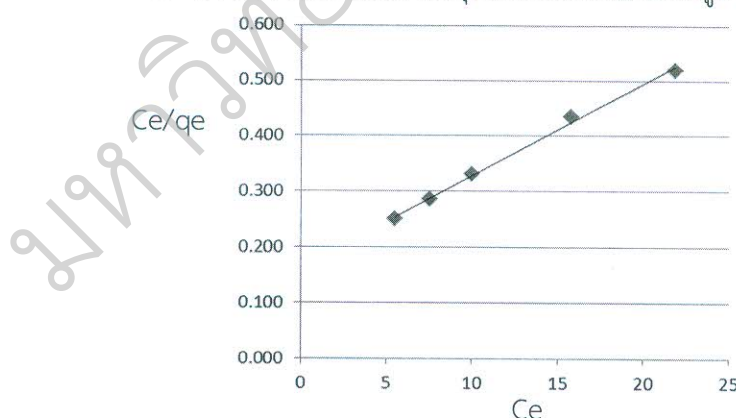


รูปที่ 4.8 ไอโซเทอร์มการดูดซับฟรุนดลิชของแกงบ

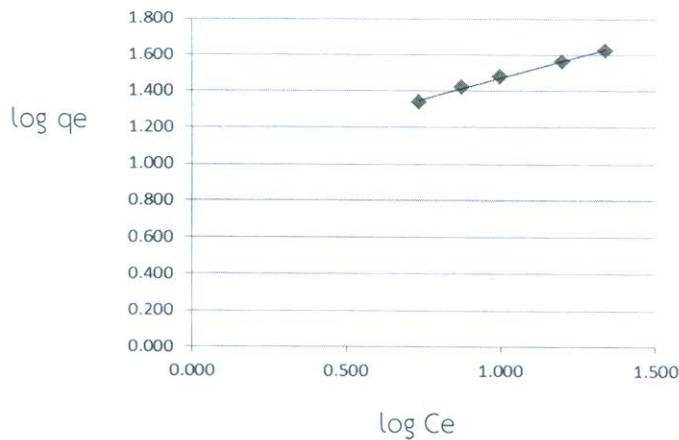
ตารางที่ 4.3 ผลการคำนวณจากไอโซเทอร์มการกำจัดโคโรเมียม (+6) ด้วย chan o'oy

ความเข้มข้น (mg/L)	Ce (mg/L)	qe (mg/g)	Ce/qe	log Ce	log qe
20	5.461	21.808	0.250	0.737	1.339
25	2.499	26.255	0.286	0.875	1.419
30	3.320	30.060	0.331	0.998	1.478
40	3.156	36.332	0.434	1.198	1.560
50	4.372	42.208	0.518	1.340	1.625

จากข้อมูลในตารางที่ 4.3 นำมาเขียนกราฟแบบสมการเส้นตรง (linear equation) จะได้ กราฟเส้นตรงของไอโซเทอร์มแลงเมียร์กับฟรุนดลิชของ chan o'oy ดังรูป 4.9-4.10



รูปที่ 4.9 ไอโซเทอร์มการดูดซับแลงเมียร์ของ chan o'oy



รูปที่ 4.10 ไอโซเทอร์มการดูดซับฟรุนดลิชของ chan อ้อย

จากการวิเคราะห์ผลโดยใช้สมการเส้นตรงไอโซเทอร์มແลงເມېຍർและฟรุนດลิชในการทำนายผลการทดลองการกำจัดโครเมียม (+6) ด้วยแกลบและchan อ้อย ได้พารามิเตอร์ต่าง ๆ ดังตารางที่ 4.4

ตารางที่ 4.4 พารามิเตอร์ของไอโซเทอร์มการกำจัดโครเมียม (+6) ด้วยแกลบและchan อ้อย

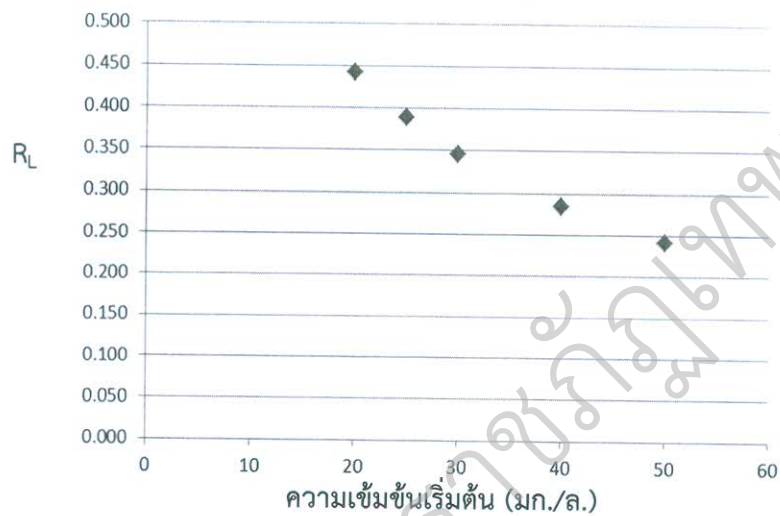
ไอโซเทอร์มແลงເມېຍർ	พารามิเตอร์	
	แกลบ	chan อ้อย
q_{max} (mg/g)	53.763	60.606
K_L (L/mg)	0.063	0.100
R_L	0.332-0.165	0.442-0.25
R^2	0.990	0.996
ไอโซเทอร์มฟรุนดลิช		
$1/n$	0.515	0.457
K_F (mg/g)	6.335	10.111
R^2	0.980	0.995

ไอโซเทอร์มการกำจัดโครเมียม (+6) ด้วยแกลบ ใช้สมการແลงເມېຍർและฟรุนດลิชขอริบาย ผลการทดลอง แสดงดังรูปที่ 4.7-4.10 ค่าคงที่ของสมการແลงເມېຍർและฟรุนດลิช แสดงในตารางที่ 4.4 และเมื่อพิจารณาความสอดคล้องของไอโซเทอร์มจากการดูดซับพิจารณาจากค่าสัมประสิทธิ์สหสัมพัทธ์มีความใกล้เคียง 1 มากที่สุด ผลการทดลองพบว่าการดูดซับโครเมียม (+6) ด้วยแกลบ สอดคล้องกับสมการແลงເມېຍ์ร์มากกว่าสมการฟรุนดลิขอริบายได้ว่าเป็นการดูดซับแบบขั้นเดียวโดยมี

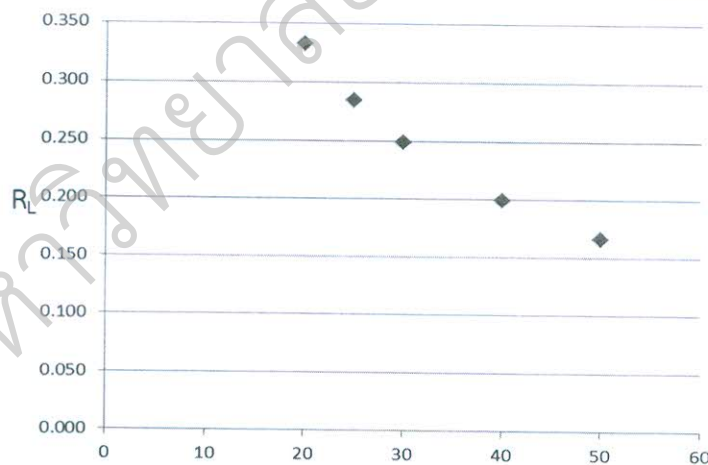
ค่าความสามารถสูงสุด (maximum adsorption capacity, q_{\max}) เท่ากับ 53.763 มิลลิกรัมต่อกรัม

ไอโซเทอร์มการกำจัดโคโรเมียม (+6) ด้วยชานอ้อย ส่วนชานอ้อย (รูปที่ 4.8-4.9) ผลการทดลองที่ได้สอดคล้องทั้งสมการแอลเมียร์และฟรุนเดลิช แต่สอดคล้องกับสมการแลงเมียร์มากกว่า อธิบายได้ว่าเป็นการคดซับแบบชั้นเดียว โดยมีค่าความสามารถสูงสุด (maximum adsorption capacity, q_{\max}) เท่ากับ 60.606 มิลลิกรัมต่อกรัม

จากไอโซเทอร์มของแลงเมียร์ในการกำจัดโคโรเมียม (+6) ด้วยแกลบและชานอ้อยสามารถอธิบายในเทอมปัจจัยการแยก (separation factor) ได้ดังรูปที่ 4.11 และ 4.12



รูปที่ 4.11 ปัจจัยการแยกในการกำจัดโคโรเมียม (+6) ด้วยแกลบ



รูปที่ 4.12 ปัจจัยการแยกในการกำจัดโคโรเมียม (+6) ด้วยชานอ้อย

จากรูป 4.10 และ 4.11 ค่าปัจจัยการแยกในการกำจัดโครเมียม (+6) ด้วยแกลบและชานอ้อย พบร่วมกันในการดูดซับมีค่าปัจจัยการแยกเท่ากับ $0.442-0.241$ และ $0.332-0.166$ ซึ่งบ่งบอกว่าเป็นการดูดซับที่ดี เนื่องจากมีค่า $0 < R_L < 1$

4.8 การกำจัดโครเมียม (+6) ในน้ำเสียจากชุมชน

ทำการศึกษาประสิทธิภาพการกำจัดโครเมียม (+6) ในน้ำดืดสียด้วยแกลบและชานอ้อย ทำการเก็บตัวอย่างน้ำเสียในพื้นที่ จ.ลพบุรี มาทำการวิเคราะห์ปริมาณโครเมียม (+6) เริ่มต้น พบร่วมกัน มีปริมาณโครเมียม (+6) เท่ากับ 20.125 มิลลิกรัมต่อกิโล และนำมาทำการกำจัดโครเมียม (+6) ด้วย แกลบและชานอ้อยที่ปรับสภาพผิวด้วยกรดไฮโดรคลอริก พบร่วมกัน มีร้อยละการดูดซับเท่ากับ 25.365 และชานอ้อย มีร้อยละการดูดซับเท่ากับ 35.121

บทที่ 5

สรุปผลการวิจัย

5.1 สรุปผลการวิจัย

ทำการศึกษาการกำจัดโคโรเมียม (+6) ด้วยแกลบและชานอ้อย โดยศึกษาปัจจัยที่มีผลต่อการดูดซับ ได้แก่ ค่าความเป็นกรด-ด่าง เวลาที่เข้าสู่สมดุล ความเข้มข้นของสารละลายและอุณหภูมิ สรุปผลการทดลองได้ดังนี้

1. ทำการปรับสภาพผิวของแกลบและชานอ้อยด้วยกรดไฮโดรคลอริก และเมื่อวิเคราะห์ ด้วย FTIR บ่งบอกว่าแกลบและชานอ้อยสามารถดูดซับโคโรเมียม (+6) ได้
2. ศึกษาประสิทธิภาพการกำจัดโคโรเมียม (+6) ผลการทดลองดังนี้
 - 2.1 ผลของค่าความเป็นกรด-ด่าง พบร่วงประสิทธิภาพในการกำจัดโคโรเมียม (+6) ที่ดีที่สุดที่ค่าความเป็นกรด-ด่างเท่ากับ 2 ของทั้งสองตัวดูดซับ
 - 2.2 ผลของเวลาที่มีต่อประสิทธิภาพการกำจัดโคโรเมียม (+6) ที่เวลา 5-420 นาที พบร่วงการดูดซับเกิดขึ้นที่เวลา 300 นาที ของทั้งสองตัวดูดซับ และมีค่าความสามารถในการดูดซับเท่ากับ $4.275-21.954$ มิลลิกรัมต่อกิโลกรัมสำหรับชานอ้อย และ $5.698-17.557$ มิลลิกรัมต่อกิโลกรัมสำหรับแกลบ
 - 2.3 ผลของความเข้มข้นสารละลายที่ความเข้มข้น $20-50$ มิลลิกรัมต่อลิตร พบร่วงชานอ้อยและแกลบมีค่าความสามารถในการดูดซับเท่ากับ $21.808-42.208$ มิลลิกรัมต่อลิตร และ $17.830-35.273$ มิลลิกรัมต่อลิตร
 - 2.4 ผลของอุณหภูมิในการดูดซับพบว่าชานอ้อยและแกลบมีค่าความสามารถใน การดูดซับเท่ากับ $3.176-4.024$ มิลลิกรัมต่อลิตร และ $3.524-4.712$ มิลลิกรัมต่อลิตร ตามลำดับ
3. การกำจัดโคโรเมียม (+6) ด้วยแกลบและชานอ้อยสอดคล้องกับสมการลงเมียร์มีค่า ความสามารถสูงสุด ($\text{maximum adsorption capacity, } q_{\max}$) เท่ากับ 53.763 และ 60.606 มิลลิกรัมต่อกิโลกรัม ตามลำดับ
4. จากข้อมูลการทดลองสรุปได้ว่าแกลบและชานอ้อยมีประสิทธิภาพในการกำจัดโคโรเมียม (+6) ในน้ำได้ดี

เอกสารอ้างอิง

กรมพัฒนาพลังงานทดแทนและอนุรักษ์พลังงาน. (2558). ศักยภาพชีวมวลในประเทศไทย [ออนไลน์].

แหล่งที่มา: http://www.dede.go.th/ewt_w3c/ewt_news.php?nid=486

[16 เมษายน 2558]

อาจารย์ ดร.สุทธิรัตน์ กิตติพงษ์วิเศษ, ดร.ดวงกมล พิหูสูตร และ พัชชาพันธ์ รัตนพันธ์. (2560).

การใช้ประโยชน์วัสดุชีวมวลเหลือใช้ทางการเกษตรสำหรับก้าบคาร์บอนและดูดซับ

สารอินทรีย์ระเหยง่าย ในชั้นบรรยายกาศ. วารสารสิ่งแวดล้อม. ปีที่ 21 ฉบับที่ 3 กรกฎาคม-กันยายน 2560

จุฬาลงกรณ์ ชาญกุล (2546). การกำจัดโครงเมียมออกจากน้ำเสียชุมชนรดโครมของอุตสาหกรรมขบ
โลหะโดยกระบวนการโพโตคอะตาไลซิส วิศวกรรมศาสตรมหาบัณฑิต วิศวกรรมสิ่งแวดล้อม

คณะวิศวกรรมศาสตร์ มหาวิทยาลัยเทคโนโลยีพระจอมเกล้าธนบุรี

ประรรดา โภชนจันทร์ (2554). การศึกษาคุณลักษณะ การใช้ประโยชน์ และการบำบัดน้ำทึ้งอย่าง
ยั่งยืน ในโรงงานอุตสาหกรรมต้นแบบ: กรณีศึกษาโรงงานบีสไฟฟ์ พิทติงอินดัสตรี จำกัด
จังหวัดสมุทรสาคร. SDU Res. J. 4 (1) : Jan - Dec 2011

สุธินี วงศิริศักดิ์ (2550). การกำจัดโครงเมียมด้วยวัชพืชโดยวิธีการปลูกพืชในดินและไร้ดิน.

วิทยาศาสตรมหาบัณฑิต วิทยาศาสตร์สิ่งแวดล้อม จุฬาลงกรณ์มหาวิทยาลัย
ศศิพา อัมพลี, เบญจมาศ ไพบูลย์กิจกุล, วิทวัส แจ้งเอี่ยมและชลี ไพบูลย์กิจกุล (2560). การกำจัด
โครงเมียม (VI) จากสารละลายในน้ำโดยการดูดซับด้วยถ่านกัมมันต์ที่เตรียมจากเปลือก

ทุเรียน. การประชุมวิชาการและนำเสนอผลงานวิจัยระดับชาติราชภานิเวศการ ครั้งที่ 2
วรรณ์ ศรีภักดิ์ และ โภวิทย์ ปิยะมังคลา (2552). การดูดซับโครงเมียม (VI) ในน้ำเสียชุมโลหะโดยใช้
ไฮโดรเจนเชื่อมขาวางเรชิน. การประชุมทางวิชาการของมหาวิทยาลัยเกษตรศาสตร์ ครั้งที่ 47:

สาขาวิชาการธรรมชาติและสิ่งแวดล้อม

มนีรัตน์ องค์วรรณดี (2542). การกำจัดโลหะหนักออกจากน้ำเสียโรงงานชุมโลหะโดยใช้เซเดียม

โบโรไฮไดร์ด วิศวกรรมศาสตรมหาบัณฑิต วิศวกรรมสิ่งแวดล้อม จุฬาลงกรณ์มหาวิทยาลัย

Di Blasi, C., Buonanno, F. and Branca, C. (1999). Reactivities of some biomass chars in
air. Carbon. 37 (8): 1227-1238.

Genieva, S.D., Turmanova, S. Ch., Dimitrova, A.S and Vlaev, L. T. (2008).

CHARACTERIZATION OF RICE HUSKS AND THE PRODUCTS OF ITS THERMAL
DEGRADATION IN AIR OR NITROGEN ATMOSPHERE. Journal of Thermal
Analysis and Calorimetry. 93 : 387–396.

Hasan S.H., Singh, K.K., Prakash, O., Talat, M. and Ho, Y.S. (2008). Removal of Cr(VI)
from aqueous solutions using agricultural waste 'maize bran'. Journal of
Hazardous Materials. Volume 152, Issue 1, 21 March 2008, Pages 356-365.

- Jacobsen, S.E. and Wyman, C.E. (2000). Cellulose and hemicellulose hydrolysis models for application to current and novel pretreatment processes. *Appl Biochem Biotechnol.* 81-96.
- Jorapur, R and Rajvanshi, A.K. (1997). SUGARCANE LEAF-BAGASSE GASIFIERS FOR INDUCTRAIL HEATING APPLICATIONS. *Biomass and Bioenergy.* 13 (13): 141-146.
- Prasara-A, J. (2010). Life Cycle Assessment in Policy Context: the Case of Rice Husk Applications in Thailand. VDM Verlag Dr. Müller.
- Senthil Kumar, P., Ramakrishnan, K., Dinesh Kirupha, S and Sivanesan, S. (2010). Thermodynamic and kinetic studies of cadmium adsorption from aqueous onto rice husk. *Brazilian Journal of Chemical Engineering.* 27 : 347–355.

ภาคผนวก

ภาคผนวก ก

ตารางที่ ก.1 ผลของความเป็นกรด-ด่างในการกำจัดโครเมียม (+6) ด้วยเกลบและชานอ้อย

ค่าความเป็นกรด-ด่าง	% การดูดซับ	
	เกลบ	ชานอ้อย
2	57.883	73.242
3	47.007	32.044
4	25.109	8.321
5	11.697	5.766

ตารางที่ ก.2 ผลของเวลาที่เข้าสู่สมดุลในการกำจัดโครเมียม (+6) ด้วยเกลบและชานอ้อย

เวลา (นาที)	ความสามารถในการดูดซับ (มิลลิกรัมต่อกรัม)	
	เกลบ	ชานอ้อย
5	5.699	4.276
10	6.301	8.600
30	8.190	11.611
60	10.188	12.843
90	10.626	18.816
120	16.051	20.257
240	17.536	21.516
300	17.557	21.954
360	17.557	21.954
420	17.557	21.954

ตารางที่ ก.3 ผลของความเข้มข้นสารละลายในการกำจัดโคโรเมียม (+6) ด้วยแกลบและ chan อ้อย

ความเข้มข้นสารละลาย (มิลลิกรัมต่อลิตร)	ความสามารถในการดูดซับ (มิลลิกรัมต่อกิโลกรัม)	
	แกลบ	chan อ้อย
20	17.830	21.808
25	21.849	26.255
30	25.051	30.060
40	29.398	36.332
50	35.274	42.208

ตารางที่ ก.4 ผลของอุณหภูมิในการกำจัดโคโรเมียม (+6) ด้วยแกลบและ chan อ้อย

อุณหภูมิ (เคลวิน)	ความสามารถในการดูดซับ (มิลลิกรัมต่อกิโลกรัม)	
	แกลบ	chan อ้อย
293	3.176	3.524
303	3.572	4.373
313	4.024	4.712